

昭和十六年四月二十五日發行

論 説

軟 鋼 の 降 伏 點 發 生 機 構

(日本鐵鋼協會第9~10回講演大會講演 昭7,8年)

黒 田 正 夫\*

ON THE ORIGIN OF THE YIELD POINT OF MILD STEEL.

by KURODA—Masao, Kogaku hakusi.

SYNOPSIS:

A hypothesis is proposed for the yield point phenomena of soft steel. When an annealed soft steel is subjected to mechanical stress, it reveals a palier in the stress-strain diagram as well as Lüders' lines on the surface of steel. These phenomena are particular for only annealed soft steel, and almost all other alloys and metals do not show them. The author sought the cause of the phenomena in the special structure of the soft steel, which is composed of soft ferrite and hard pearlite or cementite. A little amount of cementite segregates out along the boundary of the ferrite crystallines and forms honey-comb-work of hard boundary structure. When such structure is subjected to heavy load, the boundary structure yields at first, so the thick mass of soft ferrite strains suddenly until it can sustain the same amount of stress. This transition of stress appears as the palier in the stress-strain diagram, and the trace of the destruction of the honey comb structure forms the Lüders' lines on the surface of the steel. The author explains this hypothesis from different directions of the characters of soft steel.

第Ⅰ部 實 驗

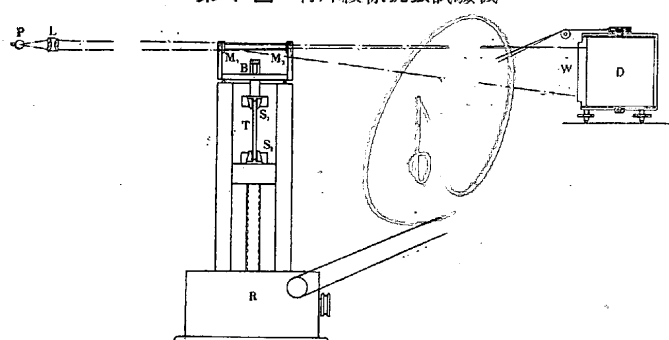
I. 常溫抗張試験

1. 装 置

1) 特殊緩徐抗張試験機 抗張試験の間に起る現象を詳しく検討するために、索引速度の甚だ小さく、且、測力計のふれによる摺みの動きが極めて小さい試験機を設計、製作した。即ち測力計の動きを小さくするため、ふれの極めて小さな鋼梁をその測力要素とし、小さなふれは光學挺子により擴大して読み、或は自記せしめた。

その機構は第1圖に示すやうなもので、試片Tを摺みS<sub>1</sub>及びS<sub>2</sub>で銜へさせ、上の摺みS<sub>1</sub>は鋼梁Bの中央から釣り下げる。下の摺みS<sub>2</sub>は減速装置Rに連結せしめて、毎時1cmの速度で引き下げさせる。試片に加へられた荷重は鋼梁の撓みを以て測る。その撓みは梁に固定した鏡M<sub>1</sub>及びM<sub>2</sub>の角度の變化を以て読み。即ち、點光源

第1圖 特殊緩徐抗張試験機

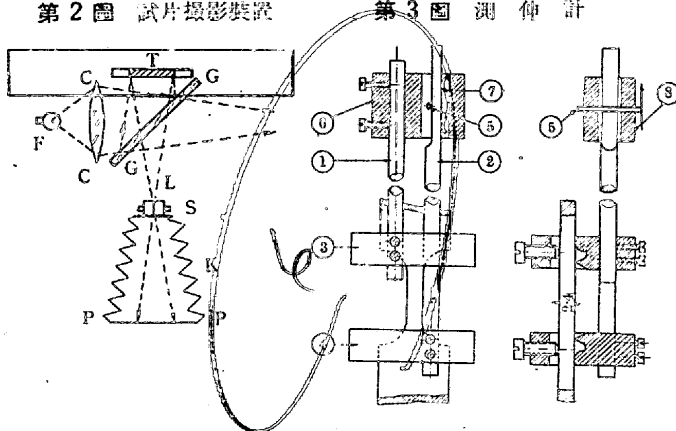


Pの像を收光鏡玉L及び鏡M<sub>1</sub>, M<sub>2</sub>を以て回轉暗箱D中の臭素紙上に結ばせて置けば梁の撓みに正比例して、此の像は臭素紙上を上下するから、その變位によって荷重を知る。一方臭素紙は回轉圓筒に張り、圓筒は減速裝置の動き、即ち試片の伸びに比例して動くやうにしてあるから、光源の像もこれに比例して臭素紙上を左右に動くであらう、依て臭素紙には縦軸に荷重、横軸に摺み、或は試片の伸びが焼きつけられる。

2) 試片の表面寫真撮影裝置 緩徐索引試験機で抗張試験しつゝその間に試片の表面變化を寫真に撮影するため

\* 理化學研究所

第2圖 試片撮影装置



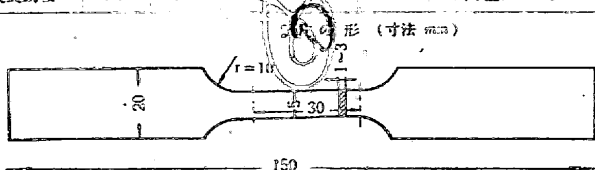
に、次のような装置をした。試片 T と寫眞器 K との間に透明平面硝子 G をはさみ、直射收光照明をなした。即ち第 2 図に於いて光源 F からの光を收光鏡 E C で集め、硝子 G、試片 T で反射せしめて寫眞鏡玉 L の主平面に光源の像を結ばせて、乾板 P 上に直射せしめた。撮影は開閉器 S で適當の間隔(多くは 30 秒、時に 1 分)に於いて適宜な露出を與へた。露出を與へる毎に緩徐試験機の記録用光束を遮ぎて、寫眞と荷重-伸曲線との關係を明らかならしめた。

3) 測伸計 かゝる塑性變形までに及ぶ研究には、彈性變形測定用のマルテン式の如き測伸計は用ひられず、又、試験機附屬の普通の自記裝置では粗くて用をなさない。そこで第 3 圖のやうな測伸計を設計、製作した。即ち 3, 4 を以て試片の標點を両端を以て押へ、その各より棒 1, 2 を出し、棒 1 に軸 5 を有する軸承 6 を固定する。棒 2 の一端を平らに仕上げてその面をもって軸 5 を擦って、棒 1 及び 2 の變位を此の軸 5 の回轉に直す。即ち標點の變位を軸 5 の回轉として、これを目盛板 8 と指針とで讀むのである。かくして、目盛板の 1 回轉を 10 mm, 1 目盛 (1 mm) を 0.1 mm とすることとは容易で、1 分量で 0.01 mm までの變位を読み得る。標點距離を 20 mm にとっても、目盛で 0.5% まで、目測で 0.05% まで読み得るから、剛性率も測定し得、塑性變形の研究には充分の精度をもつ。後に變位讀取に普通のダイアル・ゲーデを使用して、0.01 mm の示差變位を読み得るやうにした。

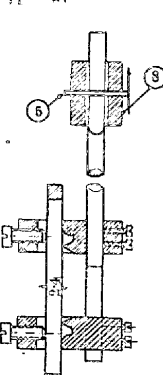
第4圖 試片の形狀

第1表 試片の組成成分

成 分	C	Si	Mn	P	S	組 成
軟鋼板 1	0.04	0.01	0.34	0.030	0.066	鋼線の層状組織残る
美装鋼板	0.07	0.01	0.2	0.033	0.028	冷間延長のまゝ



第3圖 測伸計



2. 試料 始めは市販の軟鋼板を、後には八幡製鐵所製の美装鋼板を用ひた。その組成は次のやうなものである。今後試片の形は特に断らない限り、次のやうな板状試片に製作した(第4圖参照)。平行部はミリングでかゝる形の成形刃物によって仕上げ、表面は研磨機仕上をした。

平行部は標點を打たない時は 20 mm として、此の 20 mm で全體の伸びを割た商で伸張率を示した。拘みの部分は加熱爐、冷却槽、測伸計その他の都合で更に長くすることもある。

此の材料は試片の形になした後、900°C × 30 min 烧鈍することを普通とした。焼鈍には真空爐を用ひた。即ち水晶管に試片を入れ、摺合せにより真空装置につなぎ、加熱時、螢光がとぶ程度に排氣した。ために顯微鏡的に磨いた面も少しも犯されず疊りも脱炭もない。水晶管は外部から白金電氣爐により加熱した。

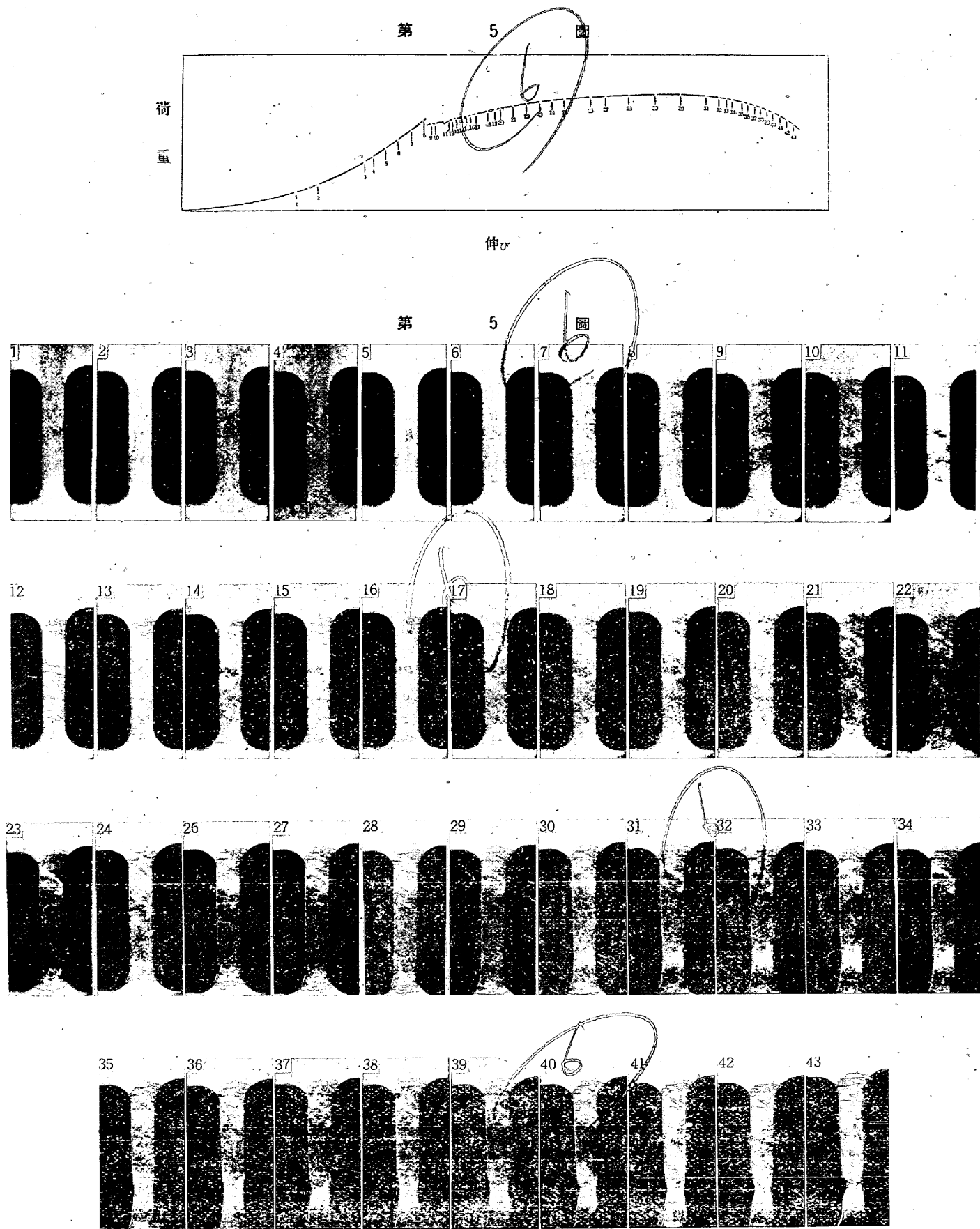
### 3. 結 果

1) 降伏點踊場と Lüders 紹との關係(第4圖) 緩徐抗張試験機で抗張試験中試験片の表面變化を撮影した。その結果は第5圖に示す通りで線図は荷重-伸曲線で、寫眞 1~43 はその表面變化で寫眞番號は曲線に入れた切口の番號に相對應する。寫眞 1~5 には何の變化も現れない。寫眞 5~8 の間には試片の一方の側に小さな紹模様が現はれる。これが Lüders 紹で、試験が進むにつれ發達して行く。

ところが寫眞 8~59 に到て俄然平行部の中央に大きくなりはれ、11までの間に平行部を覆ひつくす。15に到て殆んど全部を Lüders 紹は覆ひ去り、その後は反てそれまでに現はれた紹が不明瞭となってゆく。寫眞 20 頃では平行部は一様に梨地模様となつて Lüders 紹の境などわからなくなる。寫眞 29 に到てこの梨地となつた平行部の下から約1/2の點に局部收縮が始り、その折れから切断に到る。

一方荷重-伸曲線では 1~3 は拘みのづれが次第に減じてから 8 に彈性比例部分を示してゐる。然るに 8 に到て突然荷重は落ち、9, 10, 11, と略同じ荷重の下に伸びだけが増す所謂「降伏點踊場」を生じてをつて、11 に到てやみ、12 からは荷重と伸びとは共に漸騰して、17 に到て上部降伏點 8 と同じ荷重に回復してゐる。その後も漸騰をつゝけ 28 で最大荷重に達し、それより局部收縮を始めて切断に及んでゐる。

此の表面變化と荷重-伸曲線とは全く對應して、殊に踊場と Lüders 紹との關係は全く一致してゐる。共に 8~9-

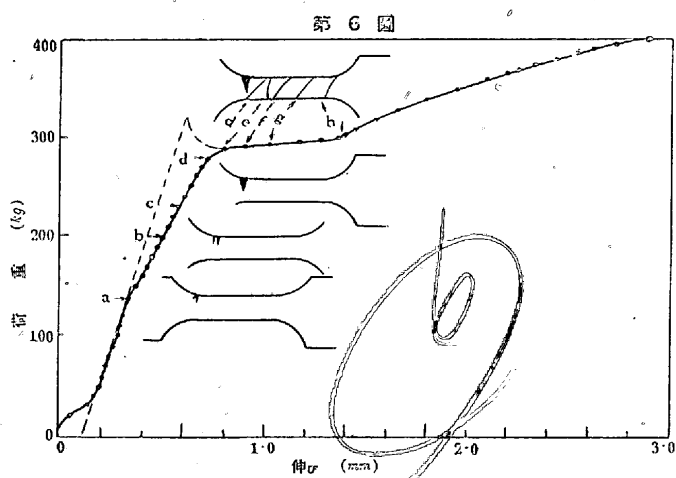


10-11 の間に出て、その発生原因が全く同一現象に因ることを示してくる。此の二つの「蹄場の存在」と「Lüders 紹の発生」との現象を以後、降伏點現象と呼ぶ。

尚 28 以後に於いて、荷重の下降と局部收縮との関係は明瞭に観察することが出来る。

5 より 8 までに現はれた小さな Lüders 紹であるが、之は更に精密に測伸計を用ひて研究すると、次の如く引張荷重の加り方が不完全であったことがわかつた。

2) 比例限界と上部降伏點 測伸計を使用して伸びを精密に測定しながら、Lüders 紹発生の模様を観察して見ると、上部降伏點以下で比例法則が崩れるのは主に片荷のため曲げ應力が加はるためであることを知た。第6圖はその結果であつて、荷重-伸曲線に於ける a, b, c, d, e, f, g, h の諸點に於いて發生した Lüders 紹の見取圖を曲線の右側に列べたものである。



140 kg 程の點 a で比例部分は一應終り、之を以て比例限界となすべきやうであるが、更に荷重が増すと再び前と平行な比例直線が現はれて、彈性比例を示すやうである。それが又 200 kg の點 b で再び崩れるが、その後又前に平行な直線が現はれ 235 kg の點 c で崩れるまでつゞく。一方試片の表面には上記の點 a, b, c で急に小さな Lüders 紹が現はれて、a, b, c と突發的に發達して行く。

この Lüders 紹の現はれた場所は縁邊應力の最も大なる點であるが、更に張力以外に少しの彎曲應力までが重なつてかゝれば、此の點には特に大きな應力が生じなくてはならない、故に若し、不均一荷重のため彎曲應力が生じた場合には此の點だけ局部的な大きな應力を生じ、ために局部的に降伏點を超えて、Lüders 紹も發生したと考へられ、ために全體的には比例法則が破れるやうに見られる。

故に完全な引張應力を加へれば、かかる Lüders 紹の

發生も、彈性比例の崩れもなくなり、上部降伏點までは、彈性比例は保たれるのである。この現象は J. G. Dotcherty も證明してゐる。

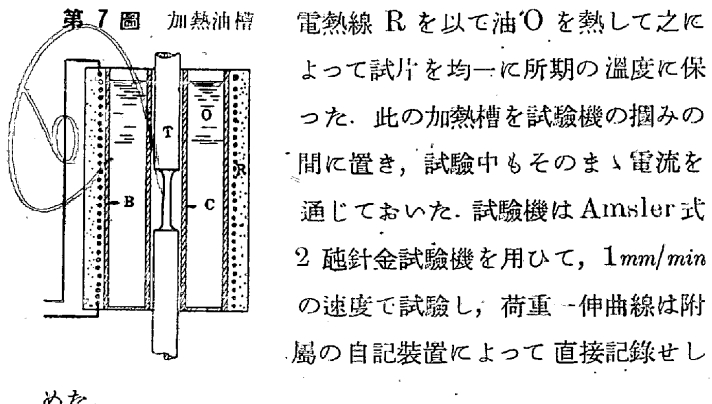
3) Lüders 紹の限界 降伏點蹄場で Lüders 紹は平行部を覆ひ盡すが、その後、荷重を増加すると、Lüders 紹は平行部より肩の方へ喰ひこんで行き、同時に前に明瞭であった Lüders 紹の模様は漠然と棄地になって行く。此の時 Lüders 紹の喰ひ込む境界はその點の應力の強さが、丁度降伏點になるやうな點の軌跡であらう。故に平行部の應力が降伏點より大きくなるに従ひ、その限界は擴がつて肩の部に喰ひこんで行く。

この限界は切斷の後に於いては最大荷重を降伏點強度になるやうに擴げた斷面積をもつ筈であつて、その應力の計算は可塑變形であるから、是れに觸れることは避けておく。唯、最大荷重と降伏點とは常温に於いては、1.8 : 1 位の比を保つが、Lüders 紹の最後の擴りの弧の張力に垂直な弦の長さと平行部の幅とは、同様に 1.8 : 1 に近い比をもつてゐる。

## II. 青脆溫度に於る抗張試験

### 1. 青脆溫度に於る抗張試験

1) 装置 電氣加熱油槽で試片を所期溫度に保つて試験を行た。即ち第7圖に示すやうに試片 T に殆ど接觸した銅管 C を中央に通した油槽 B をつくり、油槽の外側より



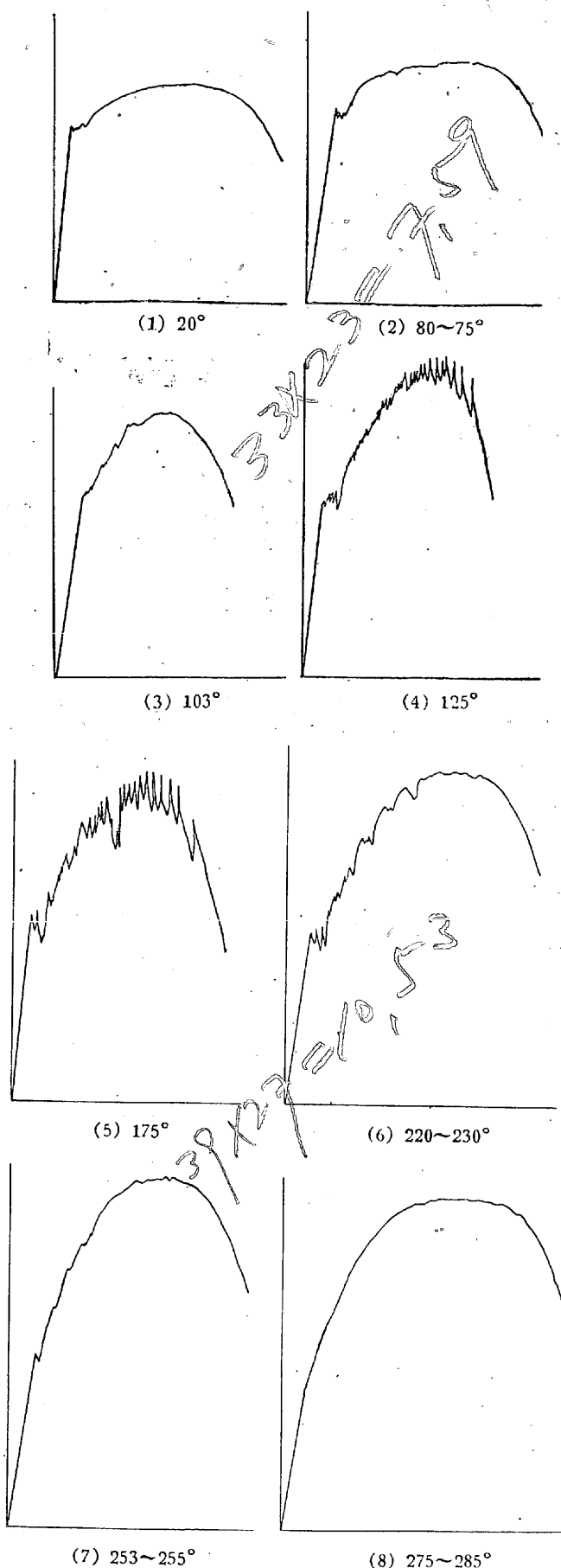
電熱線 R を以て油 O を熱して之によつて試片 T を均一に所期の溫度に保つた。此の加熱槽を試験機の掴みの間に置き、試験中もそのまま電流を通じておいた。試験機は Amsler 式 2 斧針金試験機を用ひて、1 mm/min の速度で試験し、荷重-伸曲線は附属の自記装置によって直接記録せしめた。

2) 結果 試験溫度は 20°, 75°, 100°, 125°, 175°, 225°, 275°, 300° の 8 階段で行ひ、第8圖(1)～(8)の如き結果を得た。

20° 試験では降伏點に蹄場が出た後は最高荷重を超え、局部收縮を起し切斷に至るまで荷重-伸曲線は連續的な普通の柔軟金屬と同様な形を以て終始してゐる。

75° にもなれば降伏點蹄場も起伏の大きな不連續を示し、その後の曲線にも所々に不連續が生じてゐる。100°,

第 8 圖



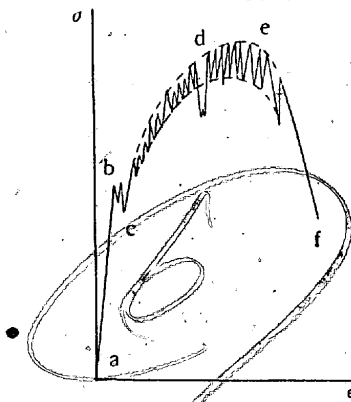
$125^\circ$  と温度の上昇と共に不連續は多く且大きくなつて

$125^\circ$  と温度の上昇と共に不連續は多く且大きくなつて  $175^\circ$  に於いて最大となり、それより段々減少して  $280^\circ$  にては殆ど消えて滑かな曲線になる。但此の時、最も注意すべきは、降伏點に蹄場まで出なくなつてをることである。

此の荷重一伸曲線の不連續はその形から第9圖のやうに分類することが出来る。

第 9 圖 不連續の分類

- 即ち I 比例部分 a-b  
 II 第一不連續群 b-c  
 III 第二不連續群 c-d  
 IV 第三不連續群 d-e  
 V 局部收縮 e-f

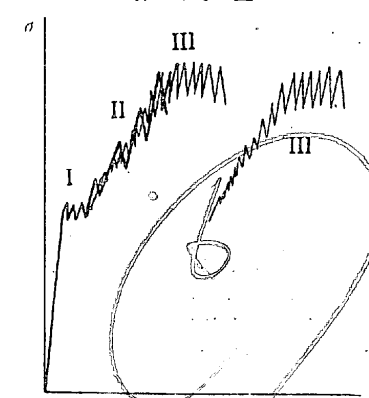


第一不連續群は降伏點蹄場であつて、温度の上昇と共に不連續の起伏が大きくなつて行く。

第二不連續群は第一不連續が終つてから荷重が漸騰する間に出来るもので、Lüders 線が不連續的に肩の部に入れてゆくと同時に生ずる。第二不連續群中には別種な小さな不連續が混じてゐる。此の小さな不連續は荷重と共に増し、最大荷重で最も激しくなるものであつて、之を第三不連續と名附ける。第二群、第三群は混じて現はれるが、始めの間は第二不連續群が著しく、その間に小さく第三不連續が現はれ始め、次第に大きくなるが、第二不連續は最大荷重に達するや、それ以後は現はれない。之を模型的に描けば第10圖のやうに考へられる。即ち太線で Lüders 線による不

第 10 圖

連續即ち第一群及第二群を現し、細線で第三不連續群を表はした。尚第三不連續群は傍に取り出して描いておいた。要するに青脆温度試験に於ける荷重一伸曲線の不連續は本質的には第一と第三群との2種とすることが出来る。



温度が  $200^\circ\text{C}$  を超え不連續群が減衰する時、第一、第二不連續群のが、第三不連續群より先に減衰し、蹄場はつひに全くなくなる。即ち  $275^\circ\text{C}$  では最大荷重に於いて第三不連續のみが僅かに残る。 $300^\circ\text{C}$  を超えれば不連續群は全くなくなり、純銅などと同じやうな平滑な曲線になつてしまふ。

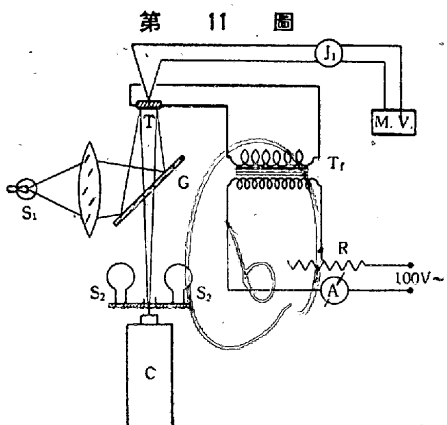
## 2. 抗張試験中試片上に現れる變化の活動寫眞による研究

1) 装置 第1節の結果と Lüders 縞との關係を明かにするため抗張試験中、各溫度に於いて、それぞれの試片の表面に Lüders 縞を始め色々の變化を活動寫眞に撮影して研究した。

表面の變化を観察しながら、高溫抗張試験をするためには前節のやうな加熱油槽を用ひるわけに行かない。それで強電流を直接試片に通じて自己抵抗で加熱した。一寸均一加熱が出來難いやうであるが、試片の焼夷色から判断して充分の均一性のあることを發見した。

その具體的の装置は第 11 圖のやうな具合にした。即ち、試片 T を試験機から電氣的に絶縁して、之に強電流を變壓器 T<sub>1</sub> から送り加熱した。その電流の強さは變壓器の一次線回路に可變抵抗器 R と電流計 A とを挿入して調節した。

温度を測るために試片の裏側に



電熱対 J<sub>1</sub> を半田付けにしてミリボルト計で讀んだ。

照明は前章のやうに透明硝子板 G によって直接反射照明を行つたが、これだけでは餘り硬くなり過ぎるので、散光部を明るくするため、寫眞電球 S<sub>2</sub> を 4 個補助に點じた。反射照明の光源には點光源用白熱電球 S<sub>2</sub><sup>2)</sup> を用ひた。寫眞器は “Universal” 活動寫眞機 C を用ひ、露出は撮影機の扇状開閉器と Compur 開閉器とを併用した。

試験機は Amsler 2 次針金試験機に特に緩徐索引装置をつけて用ひ、測力計を試片と同時に撮影するために、上のつかみの本體に對する動きを圓形微尺計で讀んで荷重の大きさを知つた、その目盛は 2.09 kg である。

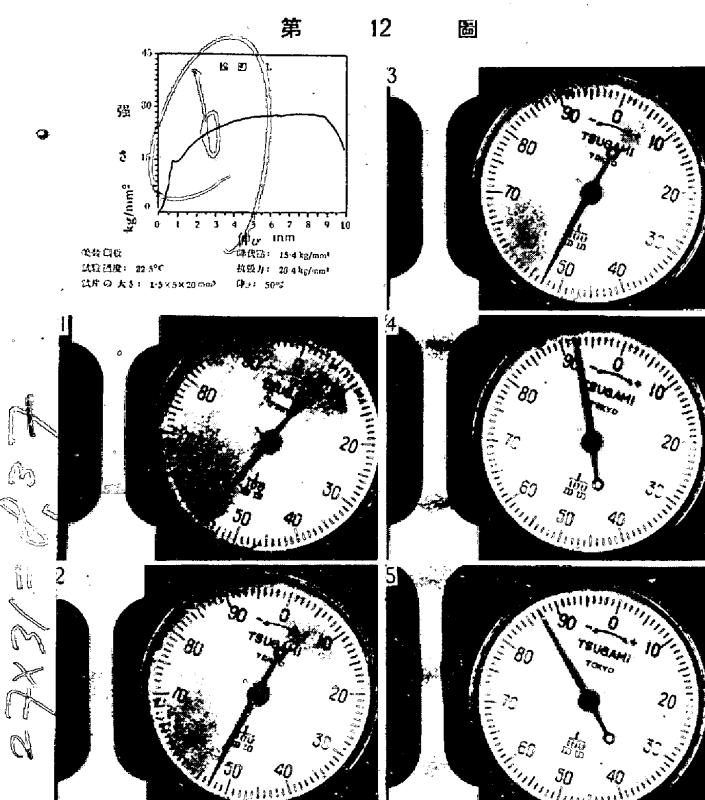
2) 結果 第 12 圖から第 14 圖に示すやうである。その荷重-伸び曲線は第 8 圖と同様な形を示してゐる。

常溫では Lüders 縞も第 1 章の時と同様であるが、溫度の上昇と共に變化してゆく有様は第 13 圖以下に見られるであらう。

(イ) 22.5° に於ける抗張試験(第 12 圖) Lüders 縞は第 12 圖の寫眞 1 より出始めて寫眞 3 までに平行部を覆

ひつくす。その間、測力計の指針は目盛 53 (111 kg) を示して停止して動かない。但、寫眞 1 では目盛 55 (115 kg) を指してゐるが、これは上部降伏點で、下部降伏點目盛 53 に落ちる前の瞬間である。

寫眞 1 より前は彈性變化中で、特に目立た變化はない。寫眞 3 以上は Lüders 縞が平行部外に食み出して肩の部を犯してゆき、寫眞 4 では最大荷重に達し、Lüders 縞も喰ひこむ所まで喰ひこんでゐる。それ以上は深くはいらず、寫眞 5 では局部收縮を始めてゐる。寫眞 4 より、平行部の Lüders 縞はほんやりとなつて、その跡は唯、梨地様の粗面となつてゐるだけである。



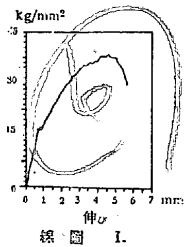
(ロ) 100° に於ける抗張試験(第 13 圖) 寫眞 1 は彈性變化中なので、著しい變化はない。寫眞 1 及 2 の 2 回に幅廣き Lüders 縞が平行部を覆て寫眞 3 では指針の上昇を示してゐる。線圖 I の荷重-伸曲線でも降伏點で二つの大きな不連續を示すだけで降伏場は過ぎてゐる。寫眞 3 から荷重も増してゆくが、寫眞 12 までは 22.5°C の場合と大して變たこともない。寫眞 4 以下では荷重は最大値に近づき、遂には局部收縮も示して來るが、その間に矢印で示したやうな斜めの線が、Lüders 縞の跡の梨地面上に現はれて來る。之は活動寫眞で見られるやうに、一度現はれた上に幾度も重て繰返し現はれる點が Lüders 縞とは全く異た性質を示す。此の縞と相對應して第三不連續群が發生

してをる。この縞を「辻り縞」と稱へることにする。顯微鏡的な結晶劈開面に生じるものと辻り線として區別する。ことにする。

第 13 圖

寫眞は活動寫眞に依る研究の一例を示す。

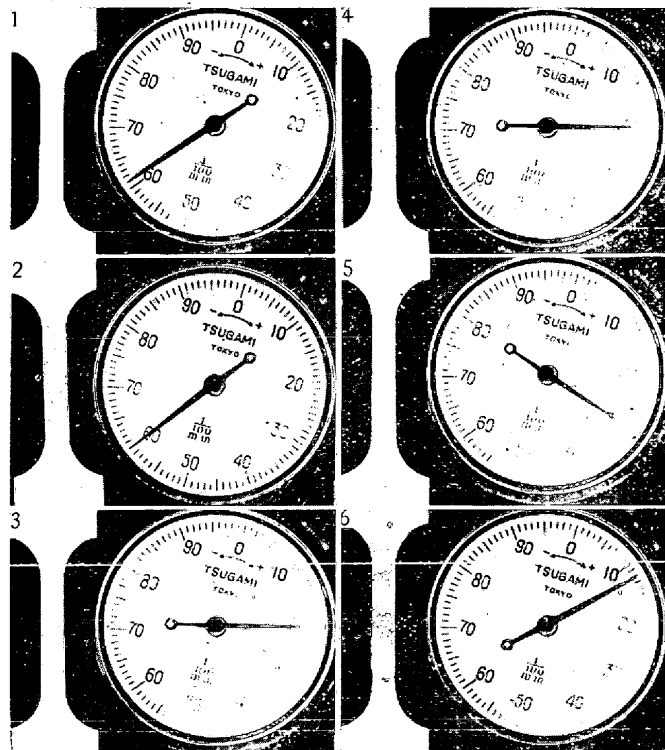
寫眞番号は本文と關係なし。以下同様



美裝鋼板

試験温度:  $100^{\circ}\text{C}$ 試片の大きさ:  $1.5 \times 5 \times 20 \text{ mm}^3$ 降伏點:  $16.5 \text{ kg/mm}^2$ 抗張力:  $39.0 \text{ kg/mm}^2$ 

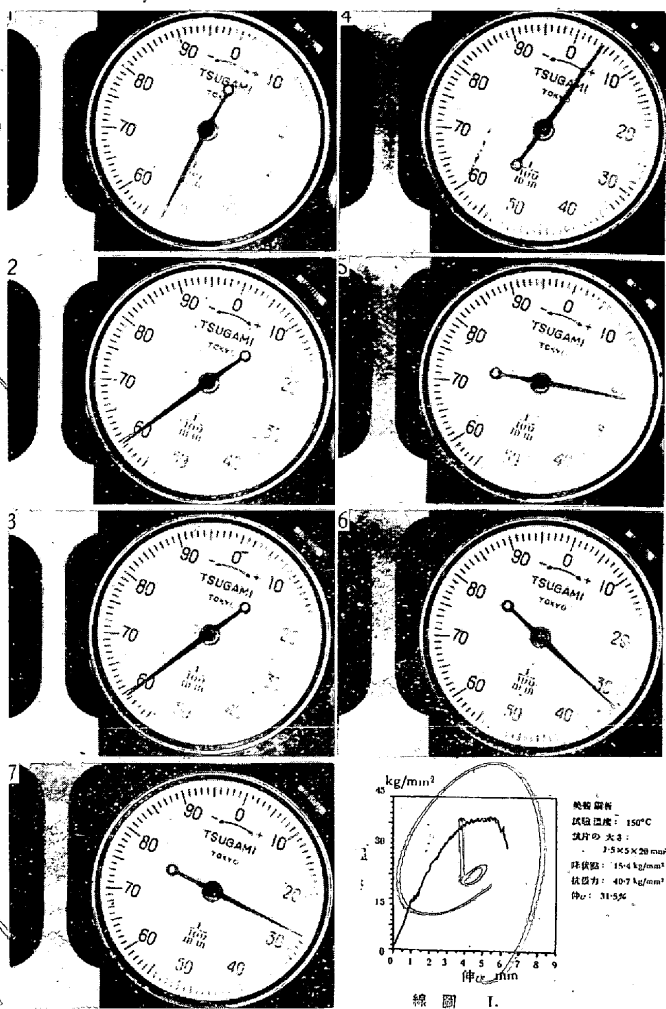
伸び: 27.5%



辻り縞の交點の一つが遂に括れ出して、局部收縮を起し、そこより切斷に到るのである。

(ハ)  $150^{\circ}\text{C}$  に於ける抗張試験(第 14 圖) Lüders 縞の現れ始めた状態を寫眞 1 に示す。續いて寫眞 2 までの間に平行部を犯して行く。出始めの写眞 1 では測力計は目盛 54 を示してゐるが、平行部の両端に一度現はれた写眞 2 では測力計の針は既に目盛 60 を指す。更に中央部に Lüders 縞が進んでゆくに従ひ、指針は目盛 57, 52, 63, 57 と盛に振動してをる。之は一度に出る Lüders 縞の幅が廣いためらしく、振動の上端の値が 54, 57, 63 と昇て行くのは、或は温度の不均一のためであらう。Lüders 縞が一つ現はれるたびに指針が落ちてをるのを示すことは活動寫眞を見ればよく判る。

第 14 圖



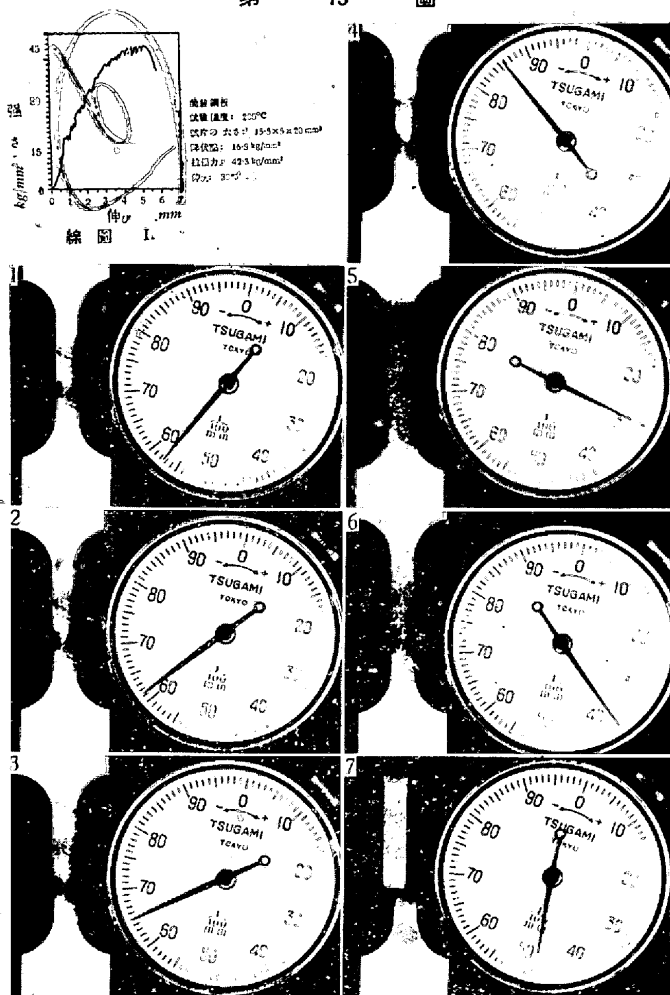
Lüders 縞が平行部を覆ひ、降伏點踊場が終ると、荷重が増して Lüders 縞が肩の部に喰ひこんでゆくことは他の場合の通りであるが、辻り縞が現はれ一度出ては直にぼんやりとなり、又その上に新しく現はれ、再三、重って生じて行く有様は寫眞 14~22 でも想像がつくであらうが(ロ)と同じく活動寫眞がよく示してをる。

(イ)  $200^{\circ}$  に於ける抗張試験(第 15 圖) 前の場合と同様であるが、不連續が大きく且、辻り縞が一層明瞭になってをる。上部降伏點は写眞 1 に示すやうに測力計の指針が目盛 59 を指して、Lüders 縞も始めて發生してをる。Lüders 縞發生のため指針は落ちて目盛 56 を指す。續いて第 2 の Lüders 縞が發生する時には写眞 2 のやうに目盛 59 にまで昇るが、写眞 3 のやうに Lüders 縞が出てしまふと目盛 54 に落ちる。ここで Lüders 縞は平行部を覆ひ、降伏點踊場に相當する第一不連續群は終り、Lüders 縞は肩の部に不連續的に喰ひこんでゆくと共に、荷重も不的に上昇する。Lüders 縞の成長と荷重の不連續は一致連續して進んでをるが、その現象も写眞 4 で終つて此の前後

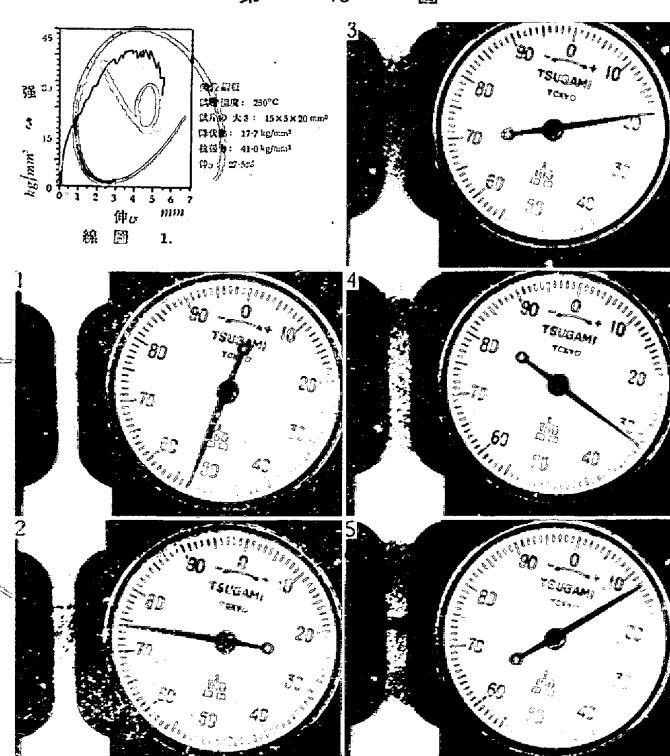
から辺り縞と第三不連續群が発生し出す。

即ち寫真 6 から辺り縞も明かに見得るやうになり、第三

第 15 圖



第 16 圖



不連續も續發して行く。但、焼戻色が試片の表面に生じてゆくために、寫真は少々不鮮明になってゆく。しかし實物では辺り縞の発生は甚だ激しくなつて来る。

(ホ)  $250^{\circ}\text{C}$  に於ける抗張試験(第 16 圖) 此の場合は Lüders 縞は寫真 3 一つで平行部を覆て来る。同時に荷重-伸曲線でも、第一不連續群に相當するものは唯一つの不連續よりない。最大荷重(測力計の目盛で 130)に達して第三不連續群は発生し、辺り縞も寫真 41 に示すやうに、此の間に盛に現はれて来る。此の時の曲線は線圖 1 のものとよく一致し、この不連續現象の偶然でないことを示して来る。

此の温度になると荷重-伸曲線の不連續も小さくなると同時に Lüders 縞及辺り縞もぼんやりとなつてゆく。

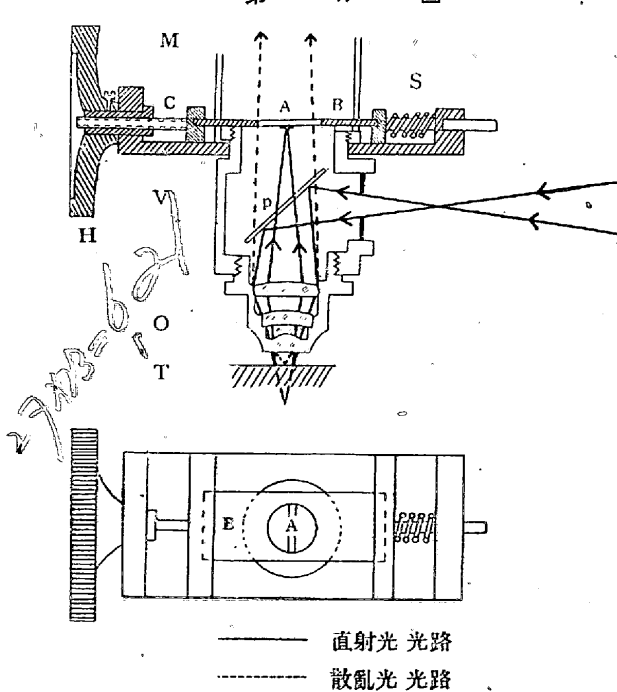
### III. 變形に伴ふ組織の變化

#### 1. 装 置

1) 反射顕微鏡の遮光照明 極めて初期の塑性変形による辺り線等の變化は普通の正反射照明による金属顕微鏡では發見し難く、又暗視野照明による反射顕微鏡にも出来ない。そこで空氣の運動等を撮影する遮光照明\* を金属顕微鏡に應用して見た。

即ち第 17 圖に示すやうな裝置を施した。上圖は縦断面圖であるが、斜線の入れてあるものが、遮光照明のために取付けた裝置で、斜線のない細線で描いた部分は普通の平

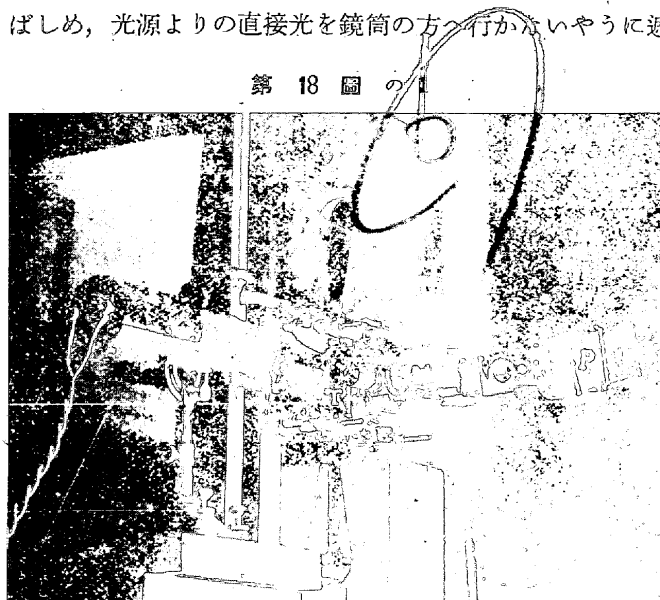
第 17 圖



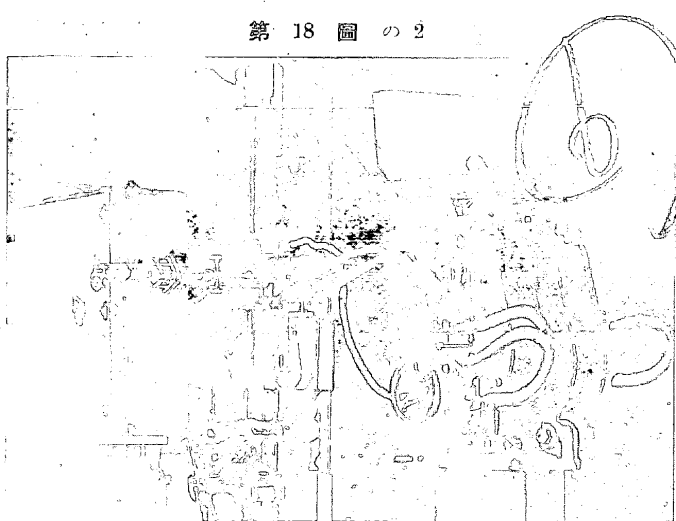
\* Sbr

面硝子式垂直照明器を取付けた金属顯微鏡の対物鏡の近くの圖である。即ち T は試料、V は垂直照明器、O は対物鏡、M は顯微鏡鏡筒である。鏡筒の下端に細窓をあけ、之に丸い窓をもつた板 AB を挿入する。照明の光學系統を少し變更して、光源からの光が反射用平面硝子 P、対物鏡 O を通り、試料 T で反射されて再び対物鏡を通て出て来た時に光源の像が板 B の平面上に結ぶやうにする。板 B の窓の中央に蔽障 A を取付け、その上に光源の像を結ばしめ、光源よりの直接光を鏡筒の方へ行かんやうに遮

第 18 圖 の 1



第 18 圖 の 2



ぎる。蔽障 A の位置を細かく調節するために微動ネジ C 及びバネ S、把子 H を装置する。

かくすると光源からの直射光は接眼鏡に入いらす、直射光から極めて僅かの角度だけそれで散乱された光だけが蔽障の周囲を通して接眼鏡に結像する。故に平面であつた試料の表面に極めて僅かな變化があればその變化による光の散乱だけを接眼鏡によって觀察することが出来るであらう。故に普通の金属顯微鏡では正反射の光が強いために、か

る僅かの散乱は認められず、Ultropak の如き暗視野反射法では極めて大なる角の散乱光だけより見られず、かゝる僅かの角の散乱光は正反射光と共に對物鏡外にそれで了ふから見られない。よって後に示すやうに此の兩者によつてはどうしても認められない僅かな表面變化を觀察するには此の方法によるより外は致し方ないのである。

2) 抗張試験中の組織變化撮影装置 試験機の支柱に顯微鏡を取付けて、抗張試験中刻々の變化を撮影するやうにした。その装置の寫真を第 18 圖寫真 1 に示す。即ち試料 T の前に顯微鏡 M を取付け、之に C. Zeiss の可視顯微鏡寫真機 Phoku P を接続した。照明は特殊白熱電球を具へた照明装置 I と Chateriler 型プリズム垂直照明器 V とを組合せて用ひた。伸びは Amsler 型自記測伸計を用ひて荷重一伸曲線を直接に記録せしめて、それから測つた。

試片全體の移動による視野の移動を防ぐために微動装置を裝置した。第 18 圖寫真 2 に示すやうに、この微動装置は試験機に固定し、鏡基を滑臺に取付けた。

撮影に際しては Phoku の視野接眼鏡より覗いて焦點と視野とを調節して後露出する。Phoku の代りに可視接手を用ひ、その後に活動寫真機 A を置けば、組織の變化の活動寫真も撮影出来る\*. 試験を熱するには低壓變壓器による強電流を用ひた。

## 2. Lüders 縞中の組織の變化

1) Lüders 縞(第 20 圖) 降伏點跡場の發生と共に肉眼的には既述のやうに明瞭に現はれた Lüders 縞を擴大して觀察してゐる。

(イ) 10 倍に擴大すると肉眼で直接見るよりも明瞭になる位で、寫真 1 及 2 にその一例を示す。此の二つの寫真は斜照明で撮影し、その照明方向を變へたものであつて試料の同じ部分を撮影したものである。かく照明方向によつて明暗を變へて見えるといふことは、Lüders 縞内の表面がそれぞれ特有な方向を有して、入射光線の反射方向を異にするため縞模様が見えるのであつて、必ずしもその面積内が粗面となつた爲とは限らない。

(ロ) 50 倍に擴大して撮影したものは寫真 3 に示すやうに Lüders 縞内はやはり粗面となつてをることを示す。即ち第 19 圖のやうに此の粗面をなす各單位がその表面

第 19 圖



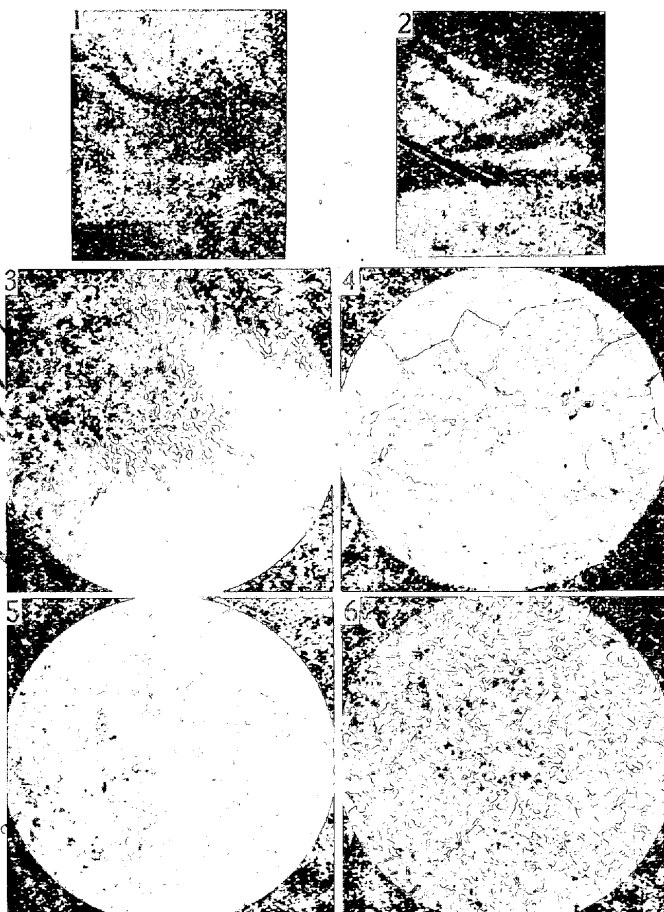
を平行にして一定方向に光を反射してゐると考へた方が尤もらしいやうで

あるが、確定的實證は挙げられない。唯粗面となつた爲、光の散乱を生じそのために反射率を減じたのが、Lüders 縞の見得る原因の全部ではない。

(ハ) 1,000 倍に擴大して見ると、寫真 4 のやうにその組織には何の變化も認められない。之は粗面になつた単位一つ一つを見てゐるためか、あの明瞭な Lüders 縞の境も 1,000 倍の視野では決して認められない。實に興味のある問題である。

(ニ) 150 倍に擴大したものでも寫真 5 に見るやうに

第 20 圖

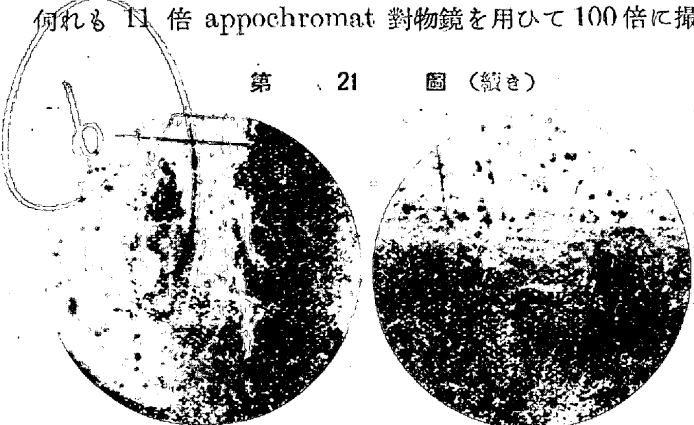


何の變化も認められない。但し焦點を狂はしてみると、寫真 6 のやうに光る網目が漠然と見られる。此の點は更に精密な研究を要する問題で、次に説明するであらう。

2) 遮光照明による觀察(第 21 圖) 結晶を稍大きく成長せしめて試験すると、歸場は不明瞭になって來ると共に辺り線が極めて初期から見られるやうになって來る。然し之も擴大して見ると見えない。

第 21 圖は何れも同一場所の辺り線のあるべき部分を擴大して撮影したものである。寫真 1 は金屬用垂直照明器で、寫真 2 は暗視野反射照明器(Ultropak を用ひた)で、何れも 150 倍 appochromat 對物鏡を用ひて 100 倍に撮

第 21 圖 (續き)

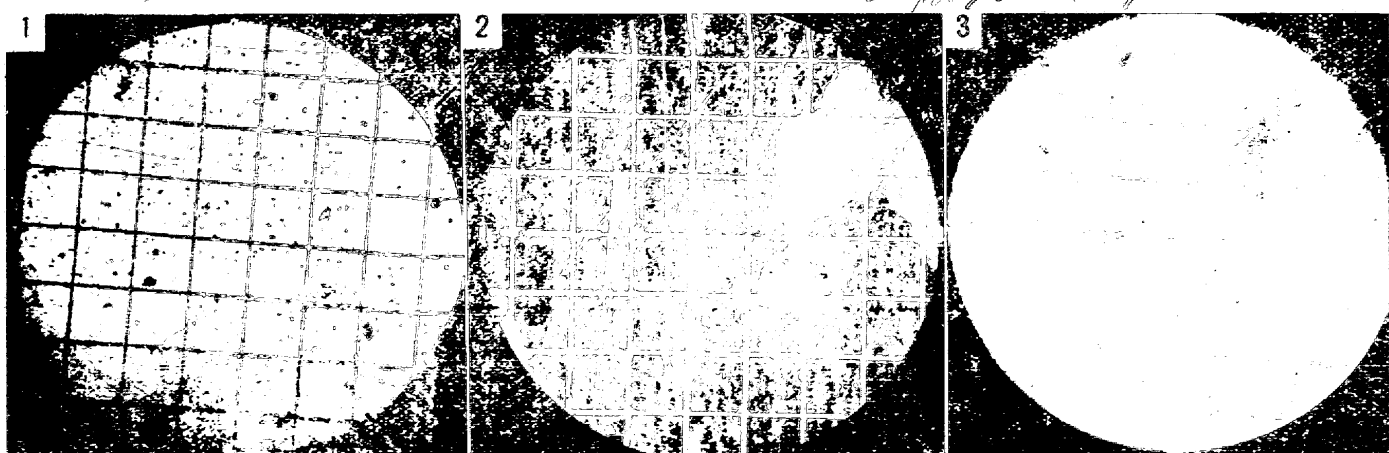


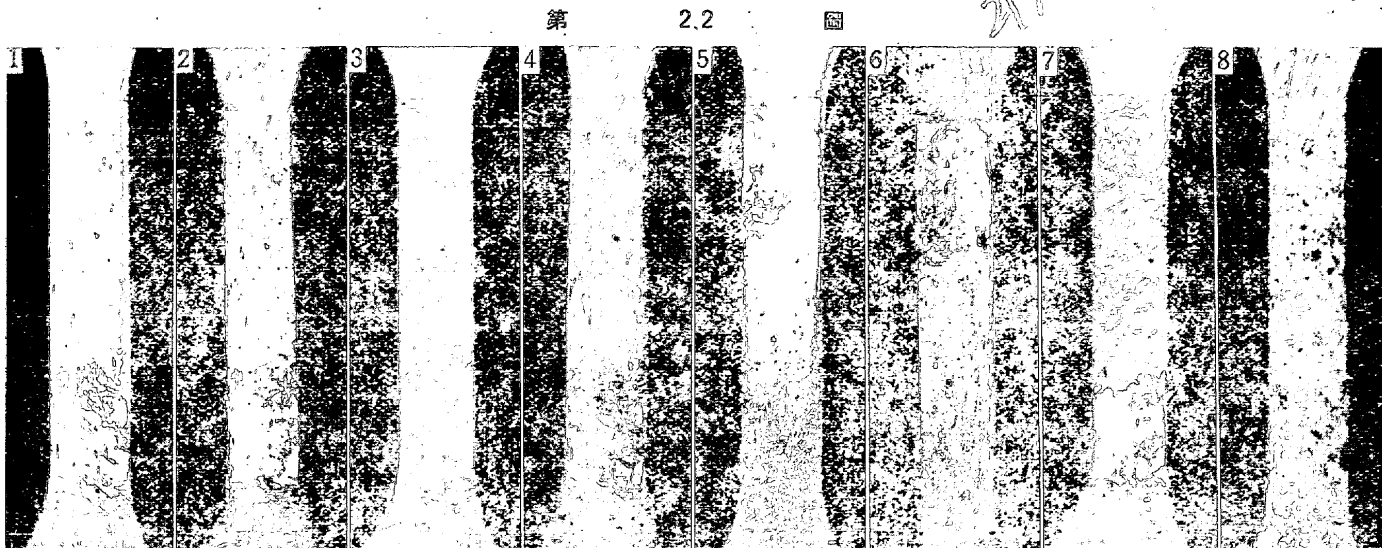
影したものであるが、變形の影響は何れも認められない。然るに遮光照明すると寫真 3 のやうに辺り線を結晶粒中に明かに見得る。寫真 4, 5 は順々にその隣の部分の辺り線を示す。かく普通の照明法によって發見し得なくとも辺り線は存在するものであるから、Lüders 縞中の結晶粒中にも辺り線がないとは斷言出來ない。

3) Lüders 縞中の變位(第 22 圖) 後に示すやうに Lüders 縞なり歸場なりは結晶が大きい時には發生しない。細かい結晶粒組織に於てのみ觀察し得るのである。即ち結晶粒の直徑は 0.1mm 以上では降伏點現象は現はれな

第 21 圖

図 5 + 8 = 1026





いから、降伏點の伸びを $0.5\%$ としても、その直徑は最大 $0.0005mm$ より變形しないであらう。此の大きさの變形を顯微鏡により測定することは不可能である。即ち降伏點に於ける結晶粒の變位は定量的に測定出来ないのである。實際、試料に $0.1mm$ の格子を切り、 $0.001mm$ 讀める筈の C. Zeiss 製、Adam Hilger 製、理研製等の移動測微尺計で測定して見たが、系統的の結果は得られなかつた。

その時の試料の表面には第 22 圖に示すやうに、著しい變化は現はれてゐるが、普通の顯微鏡では辺り線さへ發見し得ない。

寫真 1~8 に Lüders 縞の變化を示さず、結晶粒が大きい爲、Lüders 縞といふより、個々の結晶粒の辺り線で變形してゐると見られるやうな状態である。その荷重の極く低いところから、辺り線は出始めてゐる。即ち寫真に示した變形状態と應力との関係は第 1 表のやうである。

第 1 表

寫真番號	1	2	3	4	5	6	7	8
應力( $kg/mm^2$ )	20	20	20	24	34	41	85	463

降伏點跡は出で來ない。

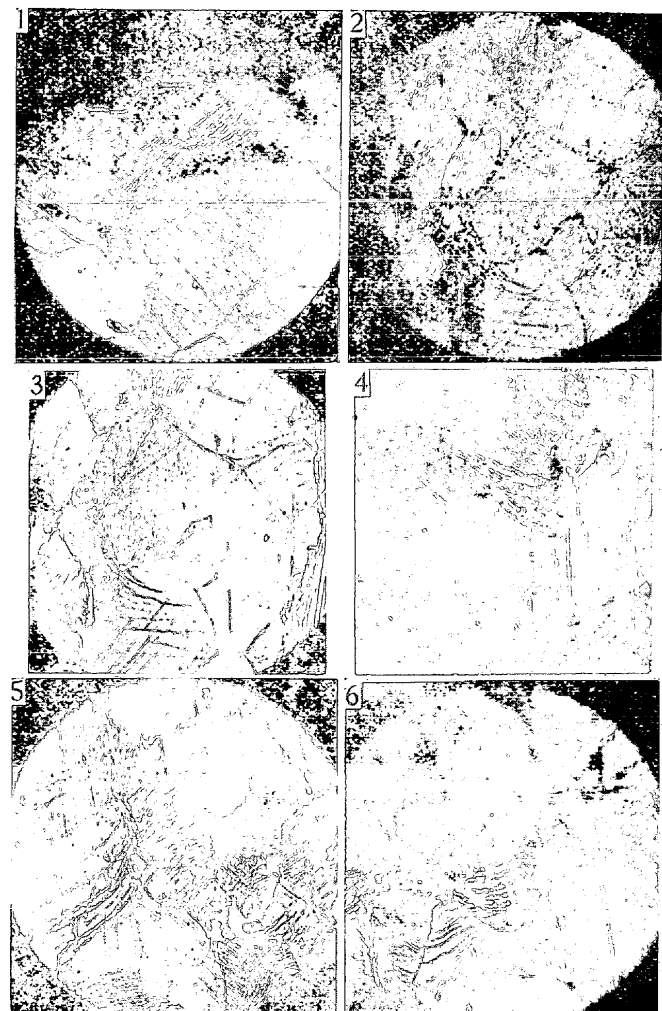
此の寫真は 2 倍の擴大であつて、辺り線も見えてゐるが、300 倍に擴大して垂直照明器で照明して見ると、辺り線は見えず、遮光照明だけで見得る。倍率を 80 倍に下げても垂直照明でも暗視野照明でも辺り線は見えないが、遮光照明だと見得るのである。

かく初期の辺り線が從來顯微鏡で觀察出來なかつたのは、照明法が悪かつた爲である。然し、Lüders 縞が明瞭に現はれるやうな細結晶組織では、Lüders 縰中の辺り線は遮光照明でも充分な觀察は困難であり、後に示すやうに、

降伏點變形は結晶粒が單位とならないから、大きな辺り線は出ないと考へられる。

3. 降伏點後の塑性變形(第 23 圖) 降伏點に於ける結晶粒中の變位は充分に測定や觀察が出來ない。その後、變形が進むにつれ次第に色々の現象が觀察出来るやうになつて来る。

第 23 圖



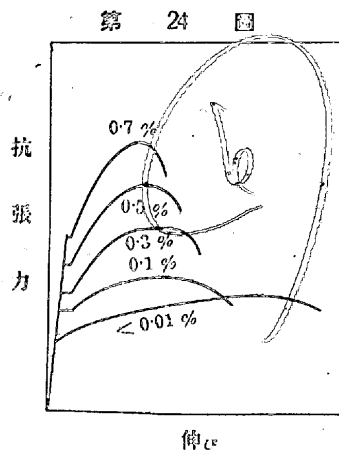
第23回寫真1は應力 $22\text{kg/mm}^2$ で踏場が終了直後の組織を垂直照明器による斜照明で撮影したもので緩い起伏と「辺り線」のやうなものが現はれてゆく。

荷重を増して $25\text{kg/mm}^2$ に到れば寫真2のやうに「辺り線」が發達してゆく。

$27\text{kg/mm}^2$ に到れば「辺り線」が寫真3のやうに更に明かになる。同じ應力に於ける他の場所を寫真4に示すが、此の部は後に局部收縮を越して寫真5及6のやうに變形してくる。寫真5及6は同一場所を唯焦點だけを變へて撮影したものである。局部收縮を起すとかくも變形が甚だしくなつて來るのである。

この塑性變形は活動寫真に撮影して觀察に便ならしめた。「辺り線」といへて云つた線の本質に就ては、後に改めて説明する。

#### 4. 變形に及ぼすパーライトの影響 燃鉱炭素鋼の炭素



含有量が増すにつれ、降伏點現象は弱って、強さは増してゆくことは古來よく知られてゐる。第24圖にその一例を示す。此の原因がパーライトにあることは誰しも想像はしてゐるが、實際如何にして影響されてゐるかは餘り研究されてゐない。

第2表のやうな鋼によってその變形と組織との關係を研究してみた。しかし降伏點踏場中の變形の影響は充分に觀察し得なかつた。

第2表 炭素鋼の組成

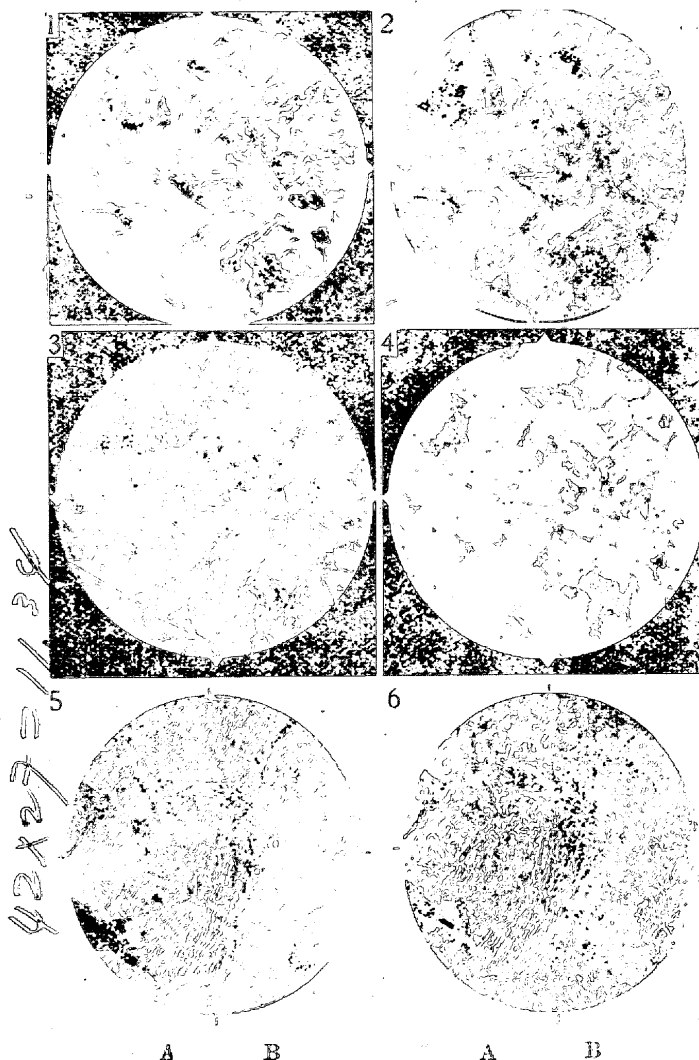
合符	組成 (%)				
	C	Si	Mn	P	S
1	0.095	0.38	tr	0.021	0.021
3	0.30	0.41	<0.27	0.020	0.020
5	0.48	0.21	0.27	0.029	0.023
7	0.70	0.19	0.34	0.028	0.016

1) C 0.3% 炭素鋼(第25圖) 寫真1~4は降伏點を超えた時の同一場所を、唯、焦點だけを變へて撮影したものである。焦點の合はない時は寫真1のやうに網状に光た組織が見えるが、段々焦點を合せてゆくにつれ、寫真2, 3と前に見えた網状組織は見え難くなつて行く。同時に、此の網状組織は結晶粒界とは關係のないことがわかる。寫真4になると、寫真3, 2, 1と逆て見ないと網状組織の出た場所はわからなくなつてゐるが、唯網状組織の見え

る跡には「辺り線」のやうなものが集てゐることを知る。

更に荷重を増して最大荷重近くへゆくと、寫真5及6のやうに明瞭になる。即ち寫真5は面積Aに、寫真6は面積Bに焦點したので、その境cafには「辺り線」が數本現はれてゐる。つまり同一場所を唯焦點を合す點を變へて撮影したもので、一つの境界線cafを境に兩側の面積A及Bは高さを變へてゐることがわかる。

第25圖

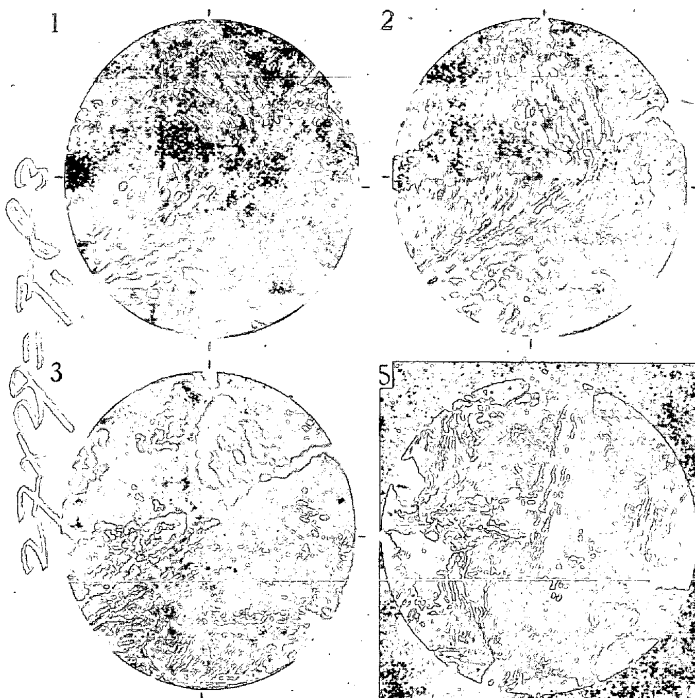


恰度、地殻運動に於て二つの地塊が一つの裂縫帶を境に互に變位してゐると同様なことが多結晶群中に起つてゐると見られる。即ち個々の結晶群とは獨立に幾つかの結晶群を一塊として運動し、その一塊の結晶は他の結晶群と數本の斷層のやうな「辺り線」よりなる一つの境界帶を以て互に變位してゐる。前より「辺り線」として呼んでゐた變位の境の線は、後に述べるやうに劈開面の眞の辺り線とは認められないで塑性的ひび、即ち裂縫にすぎないと思はれる。よつて此の變位の境の裂縫よりなる境界帶を裂縫帶と呼ぶ。即ち上に用ひた「辺り線」は眞の辺り線ではなく、

塑性裂縫に過ぎず、結晶群は裂縫帶をもって互に變位してをるのである。更に荷重を増せば愈明瞭となる。最大荷重近くに於て前と同様に焦點を變へて撮影したものを見真5~6に示す。倍率を小さくしたので變形の単位である結晶群が數個見え、裂縫帶の白い網状組織が明かに見える。

2) C 0.5% 炭素鋼(第 26 圖) 0.5% ほど炭素が増し、パーライトの面積が擴ると、上述の裂縫の意味が明瞭となる。寫真 1~3 は同一場所を三段に焦點を合せて撮影したもので、左上方にあるパーライト P の周りをパーライトを避けて曲てゐる裂縫帶を見るであらう。左上と右

第 26 圖



下との二つの群は此の裂縫帶を境に上下に變位してをる。かく激しく曲ることは劈開面である辺り線がなし得るものであらうか。之は均質的な塑性裂縫と考へ、此の裂縫を生じるため、極めて局部的な辺り線が別に存在すると考へた方が自然らしく考へられる。同様な例は寫真 4 に

も見られる。パーライトを廻て裂縫帶がうねつて通り之を境に三つの結晶群が隆起、陥没してをる。

寫真 5 に於ては、裂縫帶以外に平行な直線的辺り線が存在する。しかも一つの結晶内に止て、隣の結晶中にまで貫入してをらない。之こそ眞の劈開面に於ける辺り線と考へられる。曲りくねつてをる裂縫帶と見られるものは、いづれも數個の結晶粒を連續的に貫いてをる。かゝることは劈開的辺り線としては想像出来ないことである。

3) C 0.7% 炭素鋼(第 27 圖) 抗張試験の各段階に於ける表面状態の變化とその時の顯微鏡組織とを對應して示す。寫真 1 は降伏點跳場に入った時の Lüders 縞が一部に出た時の状況であつて、應力は  $30.6 \text{ kg/mm}^2$  であるが、組織には殆ど變化なく、寫真 3 に於て遮光照明により僅かに、裂縫らしいものを發見し得る。

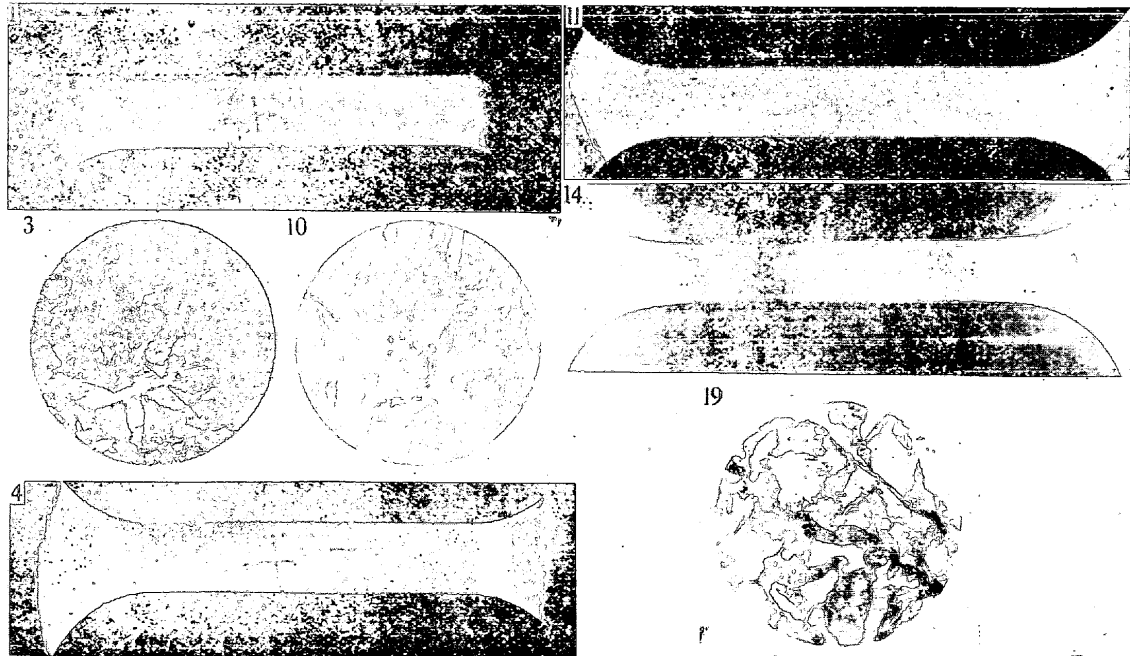
寫真 4 は跳場の終を瞬間のものでも、Lüders 縞は平行部を覆ひ盡し、地鐵の所々に裂縫が見える。

寫真 10 は應力  $40 \text{ kg/mm}^2$  に達した時の状況で Lüders 縞の跡はかなり梨地化し、Lüders 縞の縁邊は肩の部に深く喰込んでをる。裂縫帶はかなり發達し、パーライトの間を縫て進んでをる。

寫真 11 は最大荷重  $45.6 \text{ kg/mm}^2$  に達した時で、數個の結晶粒が裂縫帶で別れて相互運動を始めてゐることがよく判つて來る。ピントを變へてみると此の運動により隣同士の結晶群が相互に變位してをることが知られる。

寫真 14 は荷重が最大値を超えて少し局部收縮を始めた

第 27 圖



時で、此頃になるとパーライトがあつても纖維組織をなしてゐるのを認められる。

写真 19 は切断後、局部收縮をしてゐる部分の組織を見たもので、同一場所を擴大率及焦點を變へて撮影すると中央の面積が、周圍に對して如何に浮き上るか判る。此面積は數個の地鐵及びパーライト結晶を含んでゐて、此の群が一つとなつて變形要素をしてゐることは明かである。

#### IV. 熱處理の降伏點現象に及ぼす影響

1. 焼入效果 降伏點現象の最も著しい極軟鋼を焼入れた場合、降伏點現象の變化をみて見る。

試料は美裝銅板を焼鈍して正常化せるもので、試片の形は第1章のものと同形、厚さ 1mm のものを用ひた。

第 3 表

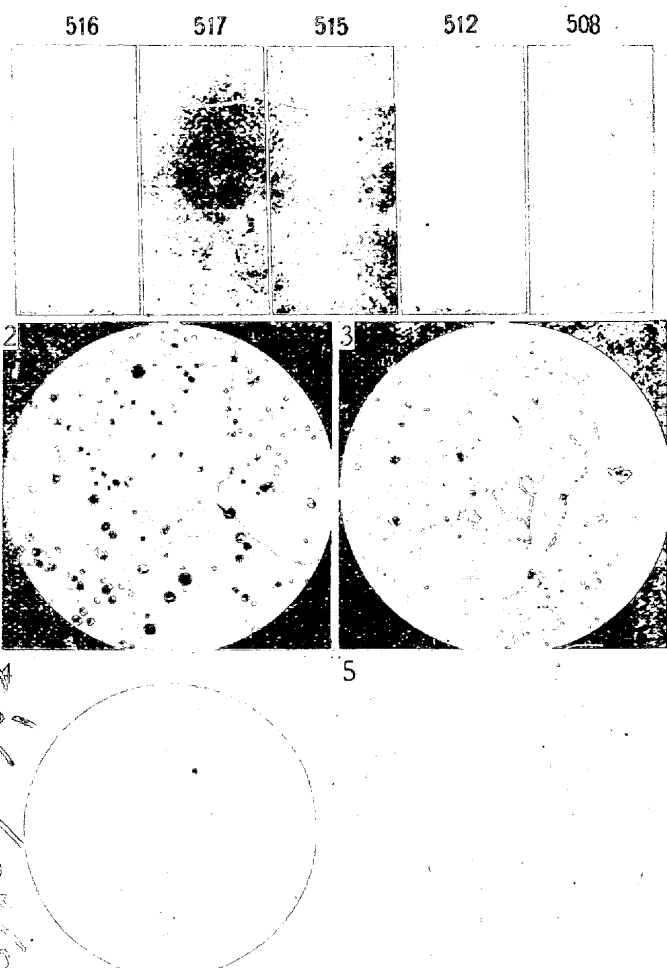
試片番號	燒入			燒戻			力學的性質		
	溫度 (°C)	時間 (min)	冷却劑	溫度 (°C)	時間 (min)	降伏點 (kg/mm <sup>2</sup> )	抗張力 (kg/mm <sup>2</sup> )	伸び (%)	
517	1,100	120	寒剤 <sup>a</sup> -25°	—	—	48.4	64.8	34	
515	1,000	60	水	18	—	52.7	70.7	23	
516	"	"	"	"	—	47.0	62.5	29	
511	"	120	"	160	60	43.3	51.4	34	
512	"	"	"	220	"	37.5	46.2	41	
513	"	"	"	290	"	34.0	42.8	35	
508	"	"	爐中冷却	—	—	26.3	41.2	48	

焼入するには焼鈍と同様真空電爐を用ひ、第3表の如く加熱焼入した。焼入程度を變へるために焼戻條件を表のやうに變へた。

焼入の影響は、結晶格子及び炭化鐵の組織の問題である。焼入により  $\gamma$ -鐵が残ることはある低炭素鋼では殆ど問題にしなくてよいが X-線寫眞を念のため撮影してみた。第 29 圖上端の寫眞に示すやうに悉く同様な  $\alpha$ -鐵の組織を示してゐる。焼入のために残るべき内力に就ては X-線寫眞の技術の精度以下で茲では問題とすることが出来ない。その中 1,100°C, 120 min 加熱、寒剤焼入の No. 517 及 1,000°C, 120 min 加熱、爐冷の No. 508 は結晶粒が稍粗大となつてゐることを示してゐる。

顯微鏡組織は第 28 圖寫眞 2~5 に示す。かるる極軟鋼に於ては、パーライトが出ないから、焼入も著しい組織上の變化を示さず、唯境界炭化鐵が影響を受けてゐるばかりである。寫眞 2 及 4 は No. 508 の焼鈍試片の境界炭化鐵を示してゐるが、地鐵の境界をべつとりと連續的に包んでゐるやうに見える。寫眞 3 及 5 の No. 515 の境界線はとぎれとぎれになつてゐるやうに見える。即ち焼入に

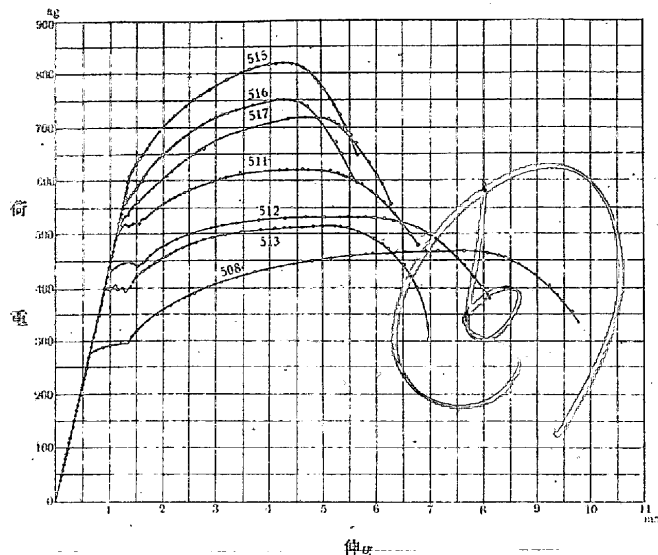
第 28 圖



よつてオーステナイト組織を保たうとする炭化鐵が、保たれ切れずに析出される時、結晶境界に擴る暇もなく、きれぎれに結晶粒の周圍に析出せられたやうに見える。之は球状パーライトが存在することを思へば當然であらう。焼入状態ではかかる断片状炭化鐵として結晶境界に析出されたものも焼戻によって過飽和の炭化鐵が結晶粒界に徐々に析出されて此の断片状炭化鐵をつないでゆくことは想像するに不合理でない。顯微鏡では見えなくともそれが結晶粒界に一面に薄膜として析出されてゆき焼鈍状態では連續的な薄膜として結晶粒を包んでしまふやうになるであらう。

かるる組織を有する試片の抗張試験の結果を第 28 圖に示す。試験の際、試片面上に現はれた Lüders 線の寫生を第 30 圖寫生 1~5 に示す。その横に記した数字は伸びを純で表したものである。第 29 圖に見るやうに、焼入した試片には降伏點に跡場が全く現はれない。これを焼戻すると焼戻温度が段々高くなるにつれ、試片 511, 512, 513 と跡場も大きくなつてゆく。そして連續的に焼戻状態即ち試片 508 に近づいてゆく。

第29圖 軟鋼の擴張性質に及ぼす焼入の影響



一方 Lüders 縞も焼入状態では甚だ貧弱で、Lüders 縞といふ程度ではなく、銅などに塑性変形が起ると表面が壘てゆく場合に近い、即ち加藤興五郎氏の銅の歪模様<sup>4)</sup>に似たもので、Lüders 縞の Fry 氏の歪模様などと全く遠ざかってをる。焼戻によって蹄場が恢復されると同時に、Lüders 縞も次第に明瞭となつて、普通の Lüders 縞のやうになつてゆく。つまり焼入によつて蹄場と Lüders 縞とは破壊され、焼戻によつて徐々に恢復されてゆくのである。

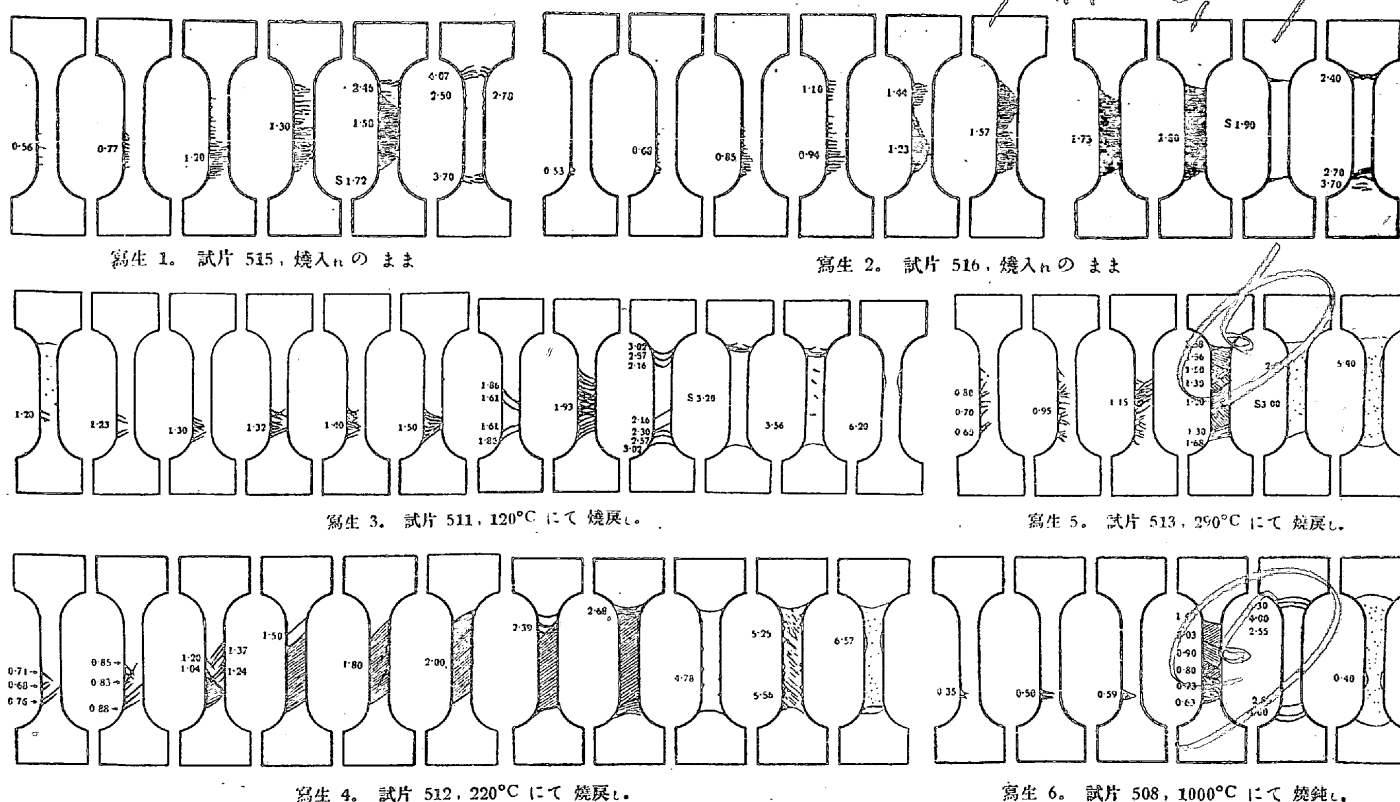
即ち第29圖の寫生に就て具體的に説明すれば、寫生1は最もよく焼きの入つた試片515であるが、Lüders 縞とは云へないやうな極めて細い毛のやうな線が入つてゐる。引張荷重の不完全のため、曲げモーメントが加り一方より歪模様は入つてゐる。伸び0.56mmより既に一方の側に毛のやうな線が入り、伸び1.30mmまで少しづゝ増してゆくが、伸び1.42mm、即ち降伏點610kg(527kg/mm<sup>2</sup>)で急に大きく成長し、伸び1.58mmで平行部を覆ひつくしてゐる。その境は漠然たるもので、焼鈍状態の Lüders 縞とは甚だ似てをらないものである。

試片516も同様であるが、焼きの入り方が少し弱かつたせいか、Lüders 縞は少しつきりして來た。伸び1.23mmで濃く出て、伸び1.80mm位で平行部を覆ひつくするが、此の點は荷重565kg(應力47.0kg/mm<sup>2</sup>)の降伏點にあたる。Lüders 縞は少しつきりしたとはいへ甚だ漠然としたものである。

焼戻してゆくと、160°1hの加熱でさへ寫生3のやうに Lüders 縞も斷然明瞭となつてをる。曲げモーメントのため、早くより小さいものは現はれたが、降伏點520kg(43.3kg/mm<sup>2</sup>)に相當する伸び1.50mmの點で平行部の全幅を通す明瞭な Lüders 縞を生じ、伸び1.93mmまでの蹄場に相當する間に Lüders 縞性も平行部を覆ひつくす。

第30圖

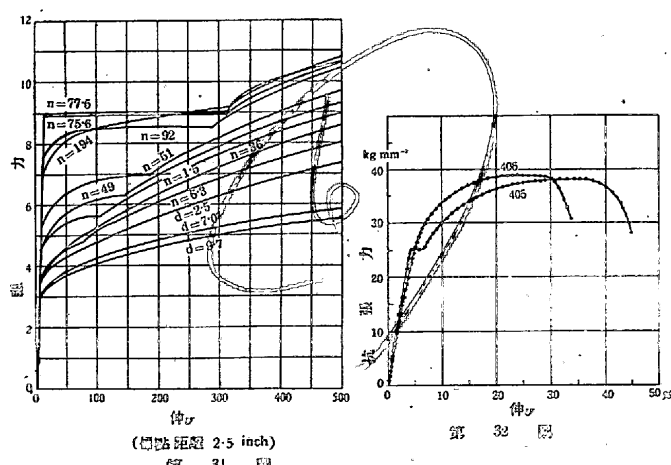
$57 \times 11 = 627$



焼戻温度を $220^{\circ}\text{C}$ に上げると第13図のやうに蹄場も明瞭になるが、Lüders縞も寫生4のやうに、明瞭に降伏點 $447\text{kg}$  ( $37.5\text{kg/mm}^2$ ) 伸び $1.37\text{mm}$ で平行部の全幅を覆ひ、伸び $1.80\text{mm}$ までの蹄場に於て平行部全體を覆ひきつて来る。その覆つてゆく有様は割然として焼鈍状態に甚だ近い。更に $290^{\circ}\text{C}$ に焼戻温度をあげると寫生5、試片513のやうに降伏點 $400\text{kg}$  ( $34.0\text{kg/mm}^2$ ) で伸び $1.15\text{mm}$ から $1.60\text{mm}$ までの明かな蹄場を恢復すると共にLüders縞も僅か6本の幅廣き縞によって平行部を覆ふやうになり、寫生6の焼鈍した試片508が降伏點 $280\text{kg}$  ( $26.3\text{kg/mm}^2$ ) で5本の幅廣いLüders縞で平行部を覆はれるのと殆ど變りなくなるやうな状態となる。

かくパーライト組織を殆ど有しない極軟鋼では、焼入によつて過剰炭化鐵である境界炭化鐵を吸收せしめると、蹄場とLüders縞との降伏點現象は消滅せしむることが出来る。焼戻は $160^{\circ}$ の如き低溫でも、この現象の恢復を來たし、焼戻温度の上昇と共にその恢復は著しくなつて、遂に焼鈍状態と同じ程度に近づいて行く。更に注意すべきは、かゝる焼入效果が $\gamma$ -鐵への變態を作はないことである。

2. 結晶粒の大きさの影響 結晶粒の大きさが大きくなるに従ひ、降伏點現象は減衰してゆくことは、既に C. A. Edward と L. B. Pheil との古い實驗<sup>5)</sup>できれいに證明されてゐる。第31図にその報告にある結晶粒と荷



第31図

重-伸曲線の關係を示す。今、急のため同一材料から二つの試片をとり、一方の試片のみ結晶粒を成長せしめ、一方は正常状態のまゝとした。此の二片を抗張試験した結果は第4表の示す通りである。

第4表

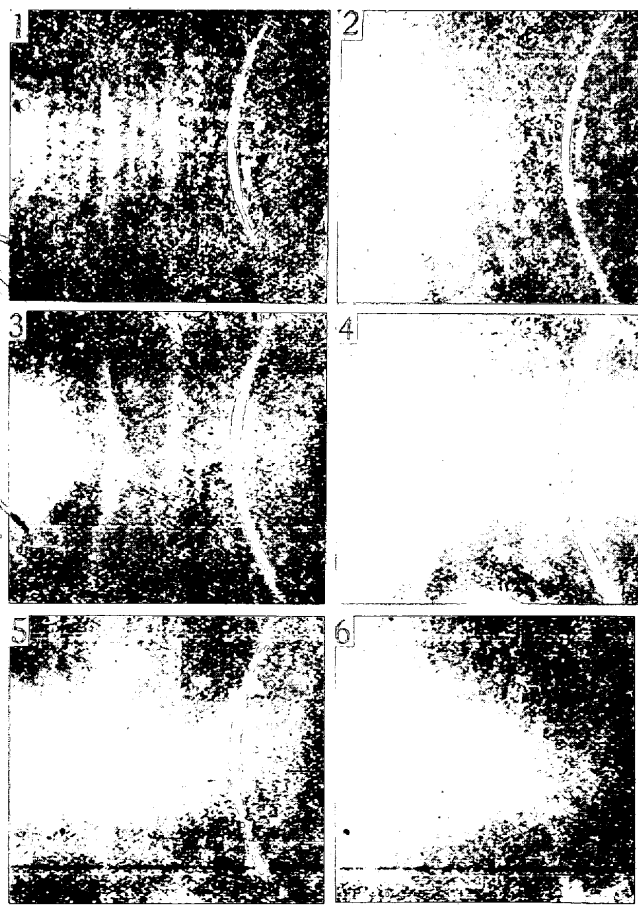
試片番號	結晶粒の平均直徑 (mm)	彈性限 (kg/mm²)	抗張力 (kg/mm²)	伸び (%)
405	0.014	25.4	38.3	46
406	0.255	26.7	39.3	35

此の二片の抗張試験に於ける應力-伸曲線は第32図のやうである。結晶粒を成長せしめた方の試片406には降伏點蹄場が出ないと同時に、Lüders縞も第22図に於ける寫真1~8のやうに個々の結晶粒の中ににり線が順々に現はれて歪を示すのみで、第12図寫真3~4のやうな無数の結晶粒を貫く一つの面積よりなる割然たる縞は現はれない。之に反し微粒の試片405に於いては普通のやうに、降伏點現象と共にLüders縞が現はれてゐる。

3. 冷間加工と焼戻の影響 冷間加工せられた時に降伏點現象は減衰し、殘留應力のみを除く低温焼鈍によっては恢復せられず、再結晶を伴ふ高温焼鈍によってのみ恢復することは知られてゐるも改めて系統的に研究してみる。

試料には冷間壓延した美裝鋼板を用ひ、これを $100^{\circ}$ 、 $230^{\circ}$ 、 $400^{\circ}$ 、 $600^{\circ}$ 、 $800^{\circ}$ で焼鈍した。加工度を見るためにX線寫真をとつた。第33圖寫真1~6にその干涉寫真に示す如く、素材でも餘り冷間加工は激しく效いてをらず、 $400^{\circ}$ までの焼鈍ではX線干涉寫真には殆ど變化がない。 $600^{\circ}$ の焼鈍に到て焼鈍效果が出てラウエ班點が

第33圖

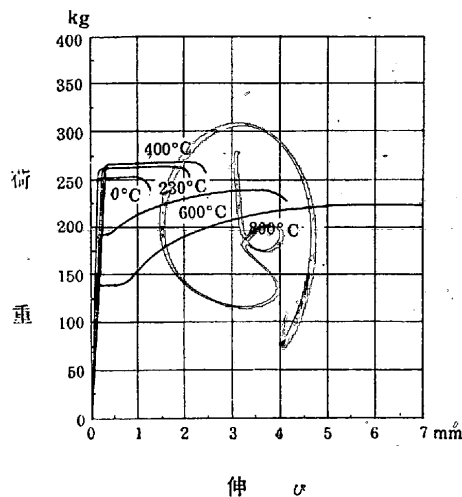


出づるが一方には尚纖維組織が完全にとれてをらぬ。 $800^{\circ}$ に到て始めて焼鈍效果は完全となり纖維組織をもつた壓延

板は  $400^{\circ}$  以下の温度に於ける焼戻では内力はとれたかもしがれぬが、纖維状組織はそのまゝで、 $600^{\circ}$  に到り始め、再結晶を始め  $800^{\circ}$  に於て完全に全部が再結晶をしたことを知る。再結晶を伴はない低温焼鈍のことを單に焼戻と云つておく。

これらの熱處理を行な試料の抗張試験による荷重一伸曲線を第 34 圖に示す。 $400^{\circ}$  以下の焼戻ではその曲線の

第 34 圖



形は相似で、 $600^{\circ}$  烧鈍に到て始めて正常曲線と相似な降伏點跡場をもつた曲線となつて来る。

冷間圧延により纖維組織をもたせられた材質では、彈性限から直に最大荷重

に達して暫くの後局部收縮を起して切斷に到る。焼戻によって内力を除かれるに従ひ、最大荷重と伸びとは幾分増すが、同形の荷重一伸曲線をたどることは同様である。ところが  $600^{\circ}$  の焼鈍状態に達すると、荷重一伸曲線は一變して彈性限の次に降伏點跡場が現はれ、それよりの塑性変形に於いても荷重も伸びと共に漸騰して後、最大荷重に達して遂に局部收縮を起す。 $800^{\circ}$  烧鈍に比して強さが大きく、伸びが稍小さいだけの差があるばかりである。

#### 4. 烧鈍軟鋼の引張加工後の時效效果

1) 降伏點跡場に及ぼす影響 抗張試験によつて色々の程度まで引張加工を與へた後、軽く焼戻すると時效效果が著しく促進され、材質は硬化する現象がある<sup>6)</sup>。その現象を系統的に研究してみる。

試料は前節と同様  $800^{\circ} 1\text{hr}$  の加熱によつて正常化した美装鋼板で、之に抗張試験により、それぞれ 5%, 10%, 20%, 33% (局部收縮の起りかける點) の伸びを與へて後沸騰水で  $1\text{hr}$  熱して時效せしめ、その試片を再び抗張試験してみる。その成績は第 5 表のやうである。但時效後の抗張力も最初の試片の大きさから算出したものである。この力学的性質を第 5 表にまとめて示す。

試料 I は正常状態の試片を一氣に抗張試験したものである。試片 II~V は夫々伸び 5, 10, 20, 33% まで伸ばし

第 5 表

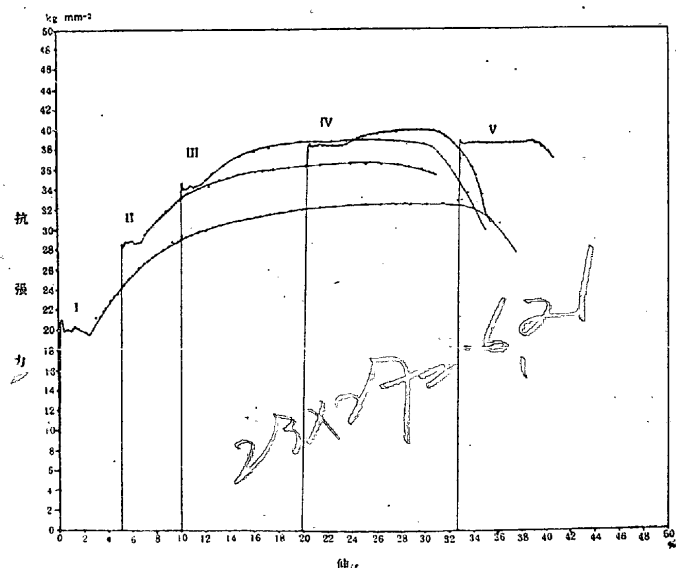
試片番號	始めに與へた歪		時效後の力学的性質		
	伸び (%)	應力 (kg/mm <sup>2</sup> )	降伏點 (kg/mm <sup>2</sup> )	抗張力 (kg/mm <sup>2</sup> )	伸び (%)
I	—	—	20	32.5	37
II	5	24	29	36.5	25
III	10	29	34.5	39.0	25
IV	20	32	38.5	40.0	15
V	33	32.5	—	39.0	8

て後荷重を下らして加熱して抗張試験したもので、後の伸びは時效後の試験だけの伸びを以て示す。

一般に金属材料は抗張試験等で外力を與へれば、その外力を取除いた後も、それに相當する強度まで彈性限は上るものである。然るに時效效果を有するものは彈性限が前の與へた應力の強度よりもう少し上るのが特徴である。軟鋼も時效する材料であるから彈性限が上ることは當然である。問題はその時、前節の如く冷間加工によって降伏點跡場を失ふか、或は加熱時效によって降伏點跡場を恢復するかである。

此の場合の結果を第 35 圖に示す。I は一氣に引張試験をしたもので、その途中に相當する伸び、5, 10, 20, 33%

第 35 圖



の點で一旦荷重を下し、時效し、再び引張試験を行な時の應力-變形曲線を重ねて示したものである。圖に見る如く II, III, IV の試片では跡場を有する正常状態に近い曲線を示し、V のみ壓延板のやうな冷間加工曲線を示してゐる。これは第 III 章第 3 節の抗張試験による組織の變化から見て、II, III, IV の如き引張加工では唯、裂縫帶や辺り線による變形が與へられるだけであつて、V の局部收縮に到て纖維組織化が始まるによるであらう。

2) Lüders 線に及ぼす影響 (第 36 圖) 引張加工

による硬化は  $100^{\circ} 1\text{hr}$  の時效により一層進められると共に、その後の抗張試験には降伏點跡場を示す。然らば降伏點跡場と不可分な Lüders 縞はどうなるであらう。當然恢復されてもよい筈である。

(イ) 降伏點跡場の途中で荷重を下して  $1\text{hr } 100^{\circ}$  の時效をして後、抗張試験をしてみる。第 36 圖線圖 1 のやうに跡場の途中、即ち寫真 1 の Lüders 縞が平行部の約  $1/3$  を覆つた點 A で荷重を下して  $100^{\circ} 1\text{hr}$  時效する。再びこれに荷重を加へると前の降伏點  $20.0 \text{ kg/mm}^2$  より遙かに高くなつて  $22.5 \text{ kg/mm}^2$  に上部降伏點を現はした後には Lüders 縞が発生して、強さも前と餘り變らない下部降伏點  $19 \text{ kg/mm}^2$  を示すやうになる。此の下部降伏點の値を保ちつゝ時效前に、Lüders 縞で覆はれなかつた部分を再び覆てゆかうとするが、この際は荷重は上昇して時效後の上部降伏點  $22.5 \text{ kg/mm}^2$  に近い値を示すやうになる。この時の Lüders 縞の有様を寫真 2 に示す。

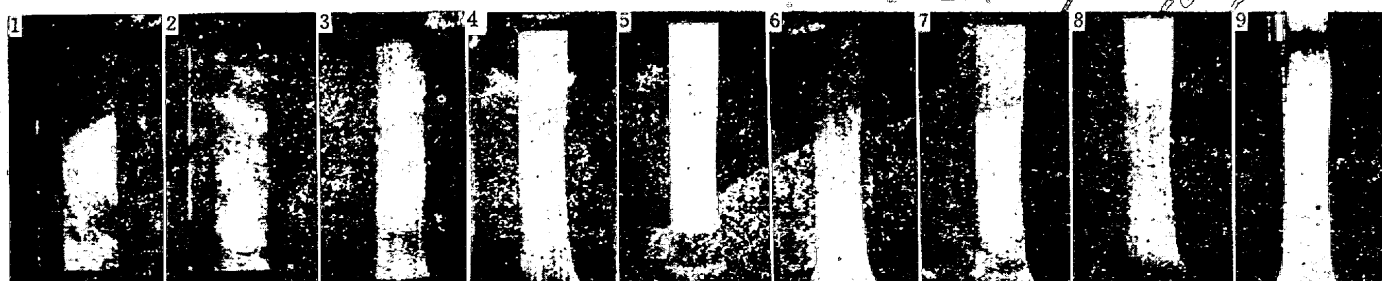
(ロ) 他の試片を降伏點跡場の途中 A まで引張て Lüders 縞を平行部の約  $2/3$  まで出して置いて、荷重を落して、縞の痕がなくなるまで磨きなほして後  $100^{\circ} 1\text{hr}$  時效せしめて抗張試験を繰返してみた。磨きなほす前の Lüders 縞の模様は第 36 圖寫真 3 の如くで、再荷重をかけると、荷重-伸曲線は第 36 圖線圖 2 の如くたどり降伏點 B に達するや前と反対の側から Lüders 縞が寫真 4 のやうに生じ、續いて荷重は時效前の降伏點と略同じ大きさ

$22 \text{ kg/mm}^2$  に落ち下部降伏點 C を示す。此の時は寫真 5 のやうに前に Lüders 縞に覆はれなかつた平行部は全部 Lüders 縞に覆はれてゐる。これから荷重は上り出し、Lüders 縞は前に一度犯した部分に喰ひこむ。時效後の上部降伏點に等しい點 D に迄荷重が上つてゆく間に寫真 6 のやうに平行部は全部 Lüders 縞に覆はれて終ふ。續いて荷重が E・F と進むに従ひ、普通の場合のやうに Lüders 縞は寫真 7 及 8 の如く肩の部に喰ひこんで行く、此の際、時效前に一度 Lüders 縞に犯された部と、新しい部とに現はれた Lüders 縞には判然たる區別がつく。荷重が増すにつれ此の區割も漠然となつて、全體一様な梨地模様となるが、局部收縮は時效前 Lüders 縞の出なかつた部分から發生する。加工時效が加工されない部分と加工を受けた部分とを硬化する程度の異なるのは當然である。

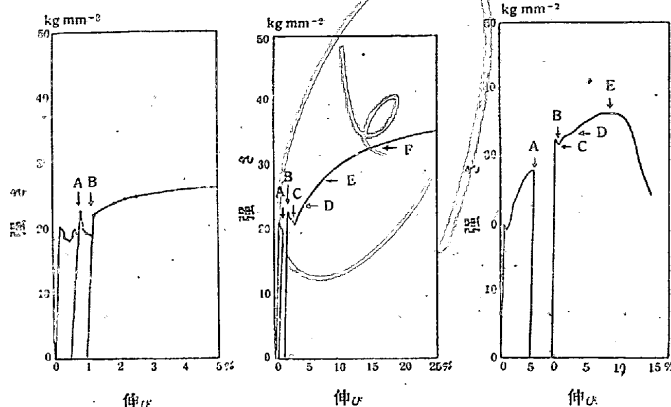
(ハ) 降伏點を過ぎて後相當の歪を生じた試料が時效によって再び降伏點跡場を恢復するに際しても Lüders 縞の再生をみるや否やの問題に立入て見る。抗張試験により平行部に 5% の伸びを與へれば、試験には第 36 圖寫真 10 のやうな肩まで喰ひこんだ Lüders 縞が現はれてゐる。荷重を下した後試片を磨きなほして、 $100^{\circ} 1\text{hr}$  の時效を與へる。そして抗張試験を繰返す。その時の應力-伸曲線は第 36 圖線圖 3 と同様に、點 A で荷重を下して時效し、再びこれに荷重をかけ、降伏點 B で Lüders 縞が平行部の上下から出た所で寫真 11 を撮影し、跡場の終

第 36 圖

12X57-26.84



第36図 (續き)



線圖 1.

線圖 2.

線圖 3.

た點Cで寫真12を撮影した。更に荷重を増し、點Dに到れば写真13のやうにLüders縞は點Aで時效前に犯した部分より廣く肩の部分に喰入り、點Eの最大荷重に達すれば写真14の示すやうにLüders縞は肩部へ奥深く喰ひこんでをる。その縁の弧の幅は9.5mmに達してをる。之は始めから一氣に抗張試験を完了したものには見なすことである。切断後の状態は写真15のやうで前の場合と餘り異なる。

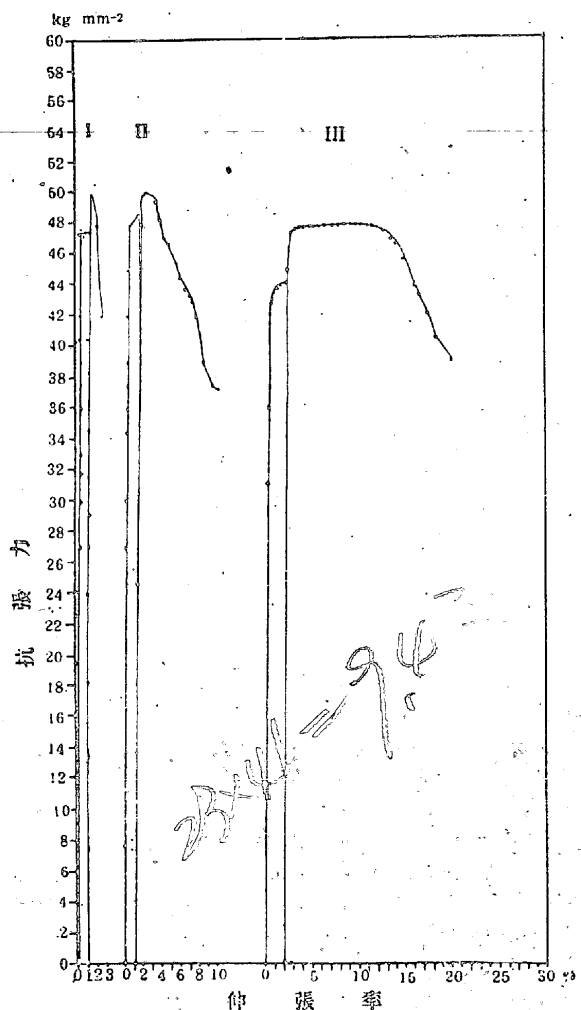
Lüders縞がこの場合肩の部へ深く喰ひこむのは當然である。平行部は加工時效により抗張力が37kg/mm<sup>2</sup>までも増してゐるが、幅廣き部分は時效前加工されてゐないが下部降伏點はもとのまゝでその強さも19kg/mm<sup>2</sup>位に止つてゐると見たがよい。即ち平行部の最大荷量37kg/mm<sup>2</sup>に對してLüders縞の縁邊がとゞくべき部分の降伏點の強さ19kg/mm<sup>2</sup>は1/1.95しかない。しかしてかゝる薄板ではLüders縞は廣い面に於いては張力に直角に出で、平行部の軸に平行な張力はLüders縞の縁邊の弦に直角と見れば、平行部とLüders縞の縁に於ける張力の強さはその幅に逆比例してよい。荷重が最大値に達した時、平行部では抗張力に等しい應力が作用するが、Lüders縞の縁では降伏點に相當する應力を受けてをるべきである。故に此の二つの應力の比は幅の比に比例すべきである。上の實驗に於いて應力の比は37:19であり、幅の比は9.5:

5であつて、略同じ値を持つ。故にかく平行部だけを加工時效して後抗張試験すれば肩に出るLüders縞の擴りは大きくなるのが當然でその擴る割合も計算に一致する。寫真でも見らるゝ通り、加工時效された部分と、加工せられなかつた部分とではLüders縞の出方は異なるが、降伏點跡場が恢復せられるやうに加工部分と雖も、時效により

Lüders縞が發生せしめられるやうになる。但加工が進んで纖維狀組織を生ぜしめるやうになればLüders縞も現れなくなる。

5. 冷間壓延材の加工時效 第3節に用ひたと同様な冷間壓延美裝鋼板の冷間壓延のまゝのものと100°C及400°Cで1h焼戻した材とを引張加工して後100°C1h時效せしめて抗張試験を行た。この3種の材料は第3節で示したやうに纖維狀組織をもつた再結晶を始めてゐないものである。

第37図



引張加工には全體の伸びの約半分の伸びを與へた。荷重を下して後100°C, 1hの時效を與へた。その結果は第37圖に示す通りで、何れも時效硬化はしてゐるが、降伏點現象は全く現はれてゐない。即ち何れも加工時效後の荷重に對して、彈性限から直接最大荷重に達し、そのまゝ幾分の伸びを示して後、局部收縮に移て切斷に到る。

此の際全體の伸びに對して局部收縮の伸びの大きることは注目に値する。内部歪による内力が時效によつて緩和せられたため脆さが減少し、纖維組織による纖維の方向への

流れが容易になつたまゝ残つてをるためであらう。

## V 軟鋼以外の金属材料の降伏點現象

1. 文獻 降伏點現象は軟鋼に特に著しく他の材料には普通認められない。これを純金屬に認めた文献は Armco<sup>7)</sup> 鐵にありとするもの、外は P. Schönmaker<sup>8)</sup> の銅が低温に於いて有するといふもののみである。Armco 鐵は純鐵でないが、一應實驗的に検査してみる。銅に降伏點ありとする實驗はこれを繰返す必要がある。

次に合金に於ては降伏點踊場は時<sup>10)</sup>に發見されてゐる。我國に於ては川合匡氏<sup>9)</sup>と鎌上龜吉氏<sup>11)</sup>の論文に於いて特に取扱てある。川合氏は湯淺氏<sup>12)</sup>と同様降伏點後の應力-伸曲線に現はれる不連續と同列に降伏點踊場を論ぜられてゐるが、その異なることは既に第 II 章に於いて説明した。しかし同氏の實驗中には、7/3 真鍮及磷青銅に於いて、明かに踊場を發見出来る。鎌上氏は降伏點踊場を目的にした實驗を特にせられてゐるが、やはり市販の磷青銅、7/3 真鍮、海軍合金、マンガン青銅、4/6 真鍮に於いて、降伏點踊場を發見せられてゐる。しかも、これらは悉く時效硬化するもので、時效硬化をしない銅や固溶體となる銅二元合金 (Cu-Al, Cu-Ni, Cu-Sn) には踊場は出てゐない、次の如き、市販の多元合金に於いてのみ發見せらるゝのは踊場と時效とは共に少量の不純物による脆い過飽和組織に於いてのみ發見するものであらう。しかも特定の溫度で焼鈍したときにのみ發見せられてゐる。(第 6 表参照)

第 6 表 鎌上氏の降伏點踊場を發見せられた合金

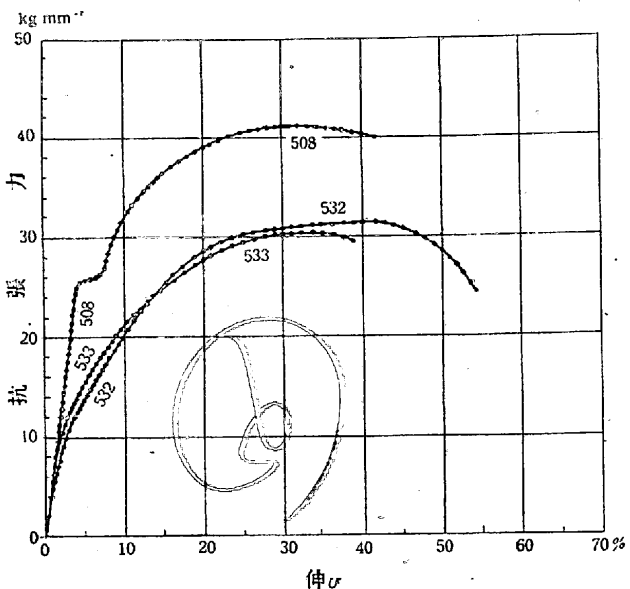
組成(%)

合 金	燒鈍溫度 °C	Cu	Sn	Zn	P	Pb	Fe	Mn
磷青銅	500~700	95.92	3.43	0.15	0.132	痕跡	—	—
7/3 真鍮	500~550	69.4	0.07	30.26	—	—	痕跡	—
海軍合金	550	70.7	1.01	28.26	—	—	—	—
マンガン青銅	550~750	98.22	1.53	—	—	—	—	0.25
4/6 真鍮	550	—	—	—	—	—	—	—

本實驗は實驗室で復製し難いから、その研究は追てなすことに対するが、時效々果する所より見れば、過飽和固溶體から沈澱作用が行はれるものであらうし、恰度、軟鋼と同様な組織と見てよいであらう。よって今は純鐵と純銅の場合を検討し、時效する輕合金の一層と比較してみることにする。

2. 純鐵 純鐵として日本電解鐵株式會社製の鍛造電解鐵棒と Armco 鐵とを用ひた。正常化は真空電爐で 1,000°C 1h 熱し爐冷した。その抗張試験結果は次の如く、その荷重-伸曲線は第 38 圖のやうである。第 38 圖に見る

第 38 圖 508 軟鋼 532 電解鐵 533 Arocmi 鐵



やうに弾性限に於いて強度-伸びの比は急激に減するけれども一定な荷重の下に伸びが増し踊場は全く見られない。

第 7 表 純鐵試験表

試片番號	材質	形		降伏點		抗張力		伸び (%)
		厚 (mm)	幅 (mm)	標點距離 (mm)	荷重 (kg)	強度 (kg/mm²)	荷重 (kgf)	
532	電解鐵	4.25	5.01	20	250	11.7	627	29.3 11.58 57.9
533	Armco鐵	0.77	5.01	20	146	12.0	108.4	23.2 7.78 38.9
508	美裝鋼板	1.02	5.01	20	134	26.3	210	41.2 9.59 48.5

3. 純銅 低温では踊場が生ずるといふ説に對して實驗を繰返したが、悉く反対の結果を得た。低温で抗張試験をするには試片を油槽に入れたまゝ、Amsler 試験機に取付けて引張た。即ち太い硝子管の底に二つ割のコルク栓をなし、その間に板状の試片をはさんだ。油のものは水を塗て凍らして止めた。

硝子管の中に石油エーテルを入れ、固形炭酸又は液體空氣で所定の溫度に冷して試験した。溫度は平行部の兩端と中央に銅-コンスタンタン熱電對を半田付して測定した。伸びは實驗 1 及 2 では Amsler の自記計によつて荷重-伸曲線を描かしめて、それから測定したが、實驗 3 では第 I 章に記した特殊測伸計を用ひた。

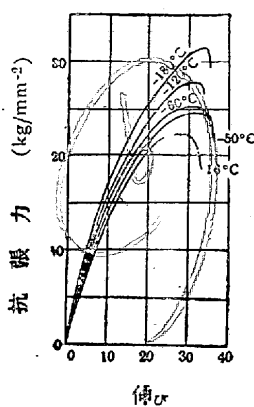
實驗 1). 前に記したと同じ形の試片により實驗したその結果は第 8 表と第 39 圖との如く、如何なる踊場も發見出来なかつた。

第 8 表

試験溫度 (°C)	+16	-60	-80	-120	-180
抗張力 (kgf/mm²)	22.5	25.0	26.5	28.0	32.0
伸び (%)	35	37	37	38	32

實驗 2). 精度を上げるために試片の長さを長くしてみた。即ち徑 5mm の丸棒を 45cm に取り、その兩端に鐵棒

第39圖



は云へないが、その成績を第40圖aに示しておく。

實驗(3). 再び本論に用ひてゐた試片の形、即ち幅20mm、長さ150mm、平行部の幅5mm、長さ20mmの板狀試片に戻り、これに第3圖に示したやうな特殊測伸計をつけて0.1mmまでの伸びを読みつゝ試験した。

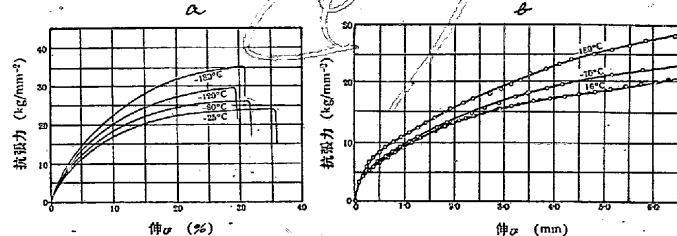
その結果は第40圖bの如く些かの踊場をも發見出來なかつた。P. Schönmakerの實驗とどうしても一致せず、銅には降伏點踊場があるとはどうしても受けとれない。

以上の如く、純金屬には降伏點踊場が存在しないといふ

をはめこんで銀鑄でつけて試片とした。之を焼鈍して前と同じ様な方法で冷やして抗張試験を行なした。

しかし、餘り長すぎたため、試片の平行部に相當する銅棒の鐵棒から出てくる中央部300mmにわたつて寒剤の温度に10°C近くの不均一をまぬがれなかつたため精度は上げられたと

第40圖



のが確からしい。即ち均一な結晶粒のみから成立つ組織には降伏點現象のやうな不連續は發生し得ないと見るので不都合はないと思へられる。

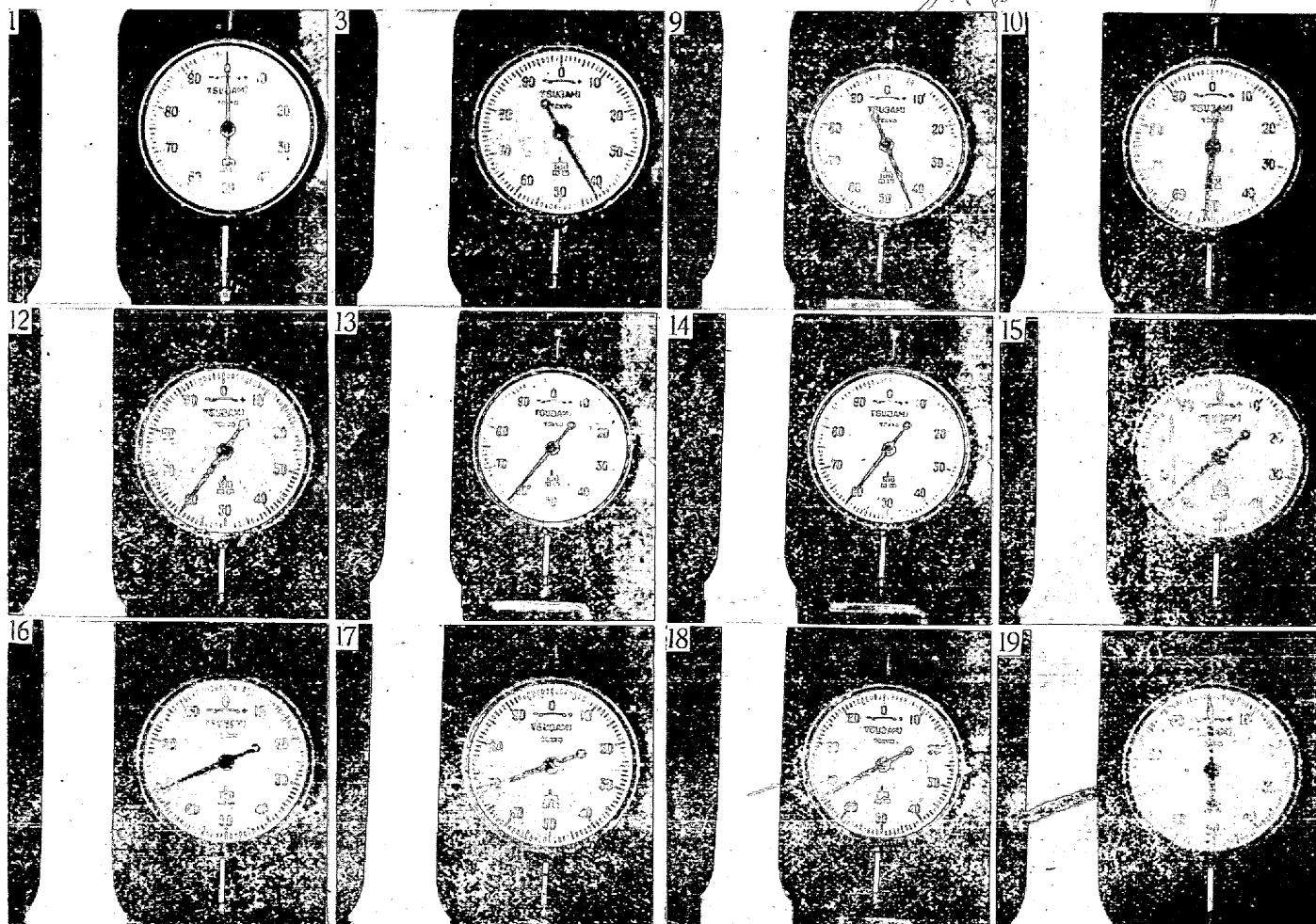
4. アルミニウム合金 時效を有する合金は第1章第2節に述べた第三群に属する不連續をその荷重-伸曲線に表はす。その代表的のものとして次の如きアルミニウム合金板(航空研究所堀口貞雄氏より惠與)を試験した。

第9表 試料の組成及力學的性質

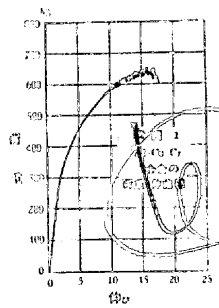
組成	試片の形		降伏點		抗張力		伸び			
Cu	Cr	Al	厚	幅	平行部	荷重	強度	荷重	強度	%
5	0.5	残部	0.95	20	60	270	14.5	650	33	28

530°C 1h 加熱後水にて急冷して 100 日常温時效せしめたものである。

第41圖



第41図(續き)



試験中に表面に起る變化を第II章の装置によって活動寫真に撮影した。その中の代表的部を引伸して第40図に示す。試験機の精度を考慮して荷重を現はす目盛板は1目盛  $3.85\text{kg}$  ( $100\text{kg}$  26目盛) を示す。

降伏點は  $270\text{kg}$  (目盛 70) であるから、それまでは、試片上に何等肉眼的の變化も現はれぬ筈がない。しかし實際にはその點で Lüders 縞らしいものは發生せず、第41圖線圖1の荷重-伸曲線が、荷重  $384\text{kg}$  (目盛 90) に於いて始めて不連續を示し出すまでは、何の變化も現はれず、目盛 121 (荷重  $480\text{kg}$ ) に到て始めて平行部の中央に、極めて微かながら2本の斜めな縞が現れた。目盛 130, 荷重  $500\text{kg}$  に到れば、同じやうな平行線が何本も明瞭に認められ、續いて目盛 135, 荷重  $520\text{kg}$  では平行部の下方に多くの平行線が生じ、寫真9(目盛 146, 荷重  $560\text{kg}$ ) には上方にも多く出てゐる。寫真10(目盛 152, 荷重  $585\text{kg}$ ) では平行部全面に多數の平

行線が見えてゐるであらう。それ以上になると、こゝに示した寫真では餘り分らないが、實際は此の線が繰返し繰返し、前に線のあった上に重なつて出て來るのである。寫真17では荷重  $650\text{kg}$  (目盛 169) に達し、寫真18(目盛 165, 荷重  $635\text{kg}$ ) では此の線の一つより局部收縮が始まり、續いて切斷してしまふ。但局部收縮の線、即ち切斷の線は前の互に平行であるに亘り綱と  $24/18.0$ 、即ち  $7^{\circ}40'$  の傾斜をなしてゐる。

茲に注意すべきは此の斜線は荷重の増加と共に益々激しく現はれ、且前に現はれた面にも數回繰返して現はれる事である。又此の縞は幅が狭く、且隣の縞とは續いておらず、飛び々々に現はれてゆく。その様子は Lüders 縞とは全く異なるものである。軟鋼の青脆温度で現はれる第三不連續群として現はれる荷重-伸曲線上の不連續と、それに伴ふ「にり縞」と稱へておいたものと一致する現象である。例へば第13~第15圖にあるにり縞と同性質のものであつて、第一不連續群、即ち降伏現象とは全く異なるものである。

(理化學研究所彙報第17輯第12號昭和13年12月)

## 第2部 理 論 的 解 釋

### 1. 蜂窩組織

1. 降伏點に関する實驗の結果\* 前報に於いてなした降伏點に関する實驗の結果を要約して見る。

1) 軟鋼は抗張試験に於いては特異な荷重-伸曲線を示す。即ち彈性限を超えるや、彈性限よりも寧ろ小さい、しかも、一定な荷重で塑性變形を起して所謂「降伏點の蹄場」を示し、特別な變形後は荷重と伸びとは兩々増加して一般軟金屬と同様な變形をなす。

2) 荷重-伸曲線に蹄場が現れる間に、試片には Lüders 縞が生じて平行部を覆てゆく。蹄場と Lüders 縞とは比例して進み、蹄場完了と同時に Lüders 縞も平行部を覆ひつくす。

3) 試験溫度が上升するに従ひ、蹄場の塑性變形にも凹凸を生じ、蹄場全體の伸びは短くなる。Lüders 縞は一度に幅広い縞となり、一本一本の縞は蹄場の凹凸と一致す

る。この不連續を第一不連續群といふ。

4) 試験溫度の上昇するに従ひ、荷重-伸曲線には蹄場の後の塑性變形にも凹凸を示す。最大荷重に於いてその不連續は最大となる。此の不連續を第三不連續群といふ。Lüders 縞が試片の肩の部に喰こんでゆくために不連續が生ずる。これを第二不連續群とするが、第三不連續群に重なつて生ずるので一寸區別し難い。

5) (3)と(4)との現象は、青脆溫度  $250^{\circ}\text{C}$  前後に於いて最も甚だしく、 $300^{\circ}\text{C}$  を超えると、第一不連續群と降伏點蹄場は消滅してしまひ、第三不連續群だけが残るがそれも次第に減衰する。

6) 第三不連續に一致して試片の上に斜に縞が生じる。之を「にり縞」と稱へておいた。にり縞は Lüders 縞とは全く異なるもので幾重にも重て生じ、最後にその一つから局部收縮が生じて切斷に到る。

7) Lüders 縞中の組織の變化は甚だ認め難く、顯微鏡の焦點を狂はすことによつて輝やいた網狀組織を認める

\* 黒田正夫： 鉄と鋼

が、これは結晶粒とは關係なく、數個の結晶群よりなる組織網目は結晶粒中を通り結晶境界を通らない。

8) この網状組織は變形の單位をなし、局部收縮を起して纖維状組織になる迄保たれる。

9) 網状組織の網の境目には裂縫が現はれて一つの裂縫帶を形成する。變形単位の結晶群は裂縫帶を境にして互に變位する。

10) 裂縫とは塑性變形に於いて生じた變形面で、結晶の劈開面に生ずる辺り線とは異る。數個の結晶群を貫通し、且バーライトの如き異物は避けて迂回する。結晶の劈開面に生じた純粹な辺り線は裂縫とは別に存在し、各結晶に特有な方向をもつてをる。

11) パーライト組織を持たない軟鋼でも焼入によつて硬化するが、同時に降伏點現象は衰退する。

12) 焼入によつて降伏點現象の衰退した鋼も、焼戻によつて降伏點現象を恢復し、焼戻溫度の上昇と共に正常状態に近づいてゆく。

13) 結晶粒の成長と共に降伏點現象は衰退し、個々の結晶の辺りによって變形し、Lüders 線の代りに、辺り線が認められるやうになる。

14) 冷間加工により纖維組織になつた材料には降伏點現象は現はれず、焼戻によつても恢復しない。唯再結晶を伴ふ焼戻によつてのみ始めて降伏點現象の再生を見る。

15) 引張加工で硬化させた材料は僅か  $100^{\circ}\text{C}$  の焼戻によつて充分降伏點の恢復をなし、同時に硬化もする。但引張加工が局部收縮を來すやうな大なる加工によつて組織が纖維状となつたものは、かゝる輕度の焼戻である時效によつては降伏點現象を恢復しない。

16) 冷間加工によつて纖維状組織となつたものを引張加工後時效せしめても、降伏點現象は現はれない。又、降伏點現象が恢復せられない位焼戻した材に於ても同様に降伏點現象は加工時效によつて生じない。

17) 純鐵にも降伏點現象はない。

18) 低温に於いても純銅には降伏點現象は現れない。

19) 時效效果の著しい合金には第三不連續群が發生しやすい。

20) 軟鋼に似た組織を有する合金には降伏點現象が現はれる。

2. 軟鋼に降伏點現象の現はるべき原因 非鐵合金にも降伏點現象は現はれるものがあるといへ、軟鋼のやうに著しいものはない。然らば軟鋼のどこにそんな原因があ

るのであらうか。

軟鋼が他の金屬や合金材と異た、特に著しい力學的性質を示すのはその燒入や燒鈍による熱處理にある。しかも燒入のよく效く高炭素鋼でも、又は炭素含有量の極めて少ない純鐵に近いものにも、何れも降伏點現象が極めて著しくないといふことは、地鐵結晶粒の存在を必要とし、多少の炭素が之に伴はなくてはならないことを示してゐる。若し、バーライトなり、炭化鐵なりが主要組成であるとしたなら、高炭素鋼ほど降伏點現象は著しかるべき、又、地鐵のみが主要元素であるなら純鐵にも著しく現はれなくてはならないのに、事實は兩方の場合とも反対の結果を示してゐる。故に降伏點現象、即ち降伏點誦場と Lüders 線の發生は地鐵及び少量の炭化鐵の共存よりなる組織に原因を求めるべくはならない。

然るに從來から此の組織に無關係に他の機構によつて降伏點現象を説明しやうと試みられたものがある。今此の不均一組織によつて説明する前に、他の説明が事實に適しないことを検討してみる。

1) 地鐵の結晶型の説 多くの金屬や合金に體心立方格子よりなる立方結晶をなすものが少いのに鐵は體心立方晶よりなる普通の金屬であるといふ點に鐵の特異性の重點を置く説であるが、之は純鐵には降伏點現象が甚だ微弱であるといふ點より事實に合致しない。

2) 結晶辺りの説 單結晶の辺りが多結晶質全體の辺り變形にそのまゝ應用出来ると思ふことに、その説明の基礎を置く説である。しかし、多結晶質全體として考へる時は個々の結晶粒の辺りなどの方向性は考へられない。非常に多くの結晶が確率的に自由な方向に均等に向つてゐる筈であるから、特定な方向性を與へることは出來ない。即ち全體として全く均等な連續的の性質より考へられないではないか。

たとへ個々の結晶は、その結晶軸の應力に對する方向に

第1圖 よって、辺り面が變るたびに不連續的應力-變形の關係が變化していくことは第1圖のやうにあっても、多結晶質では一つの應力に對して、結晶軸は無數にしかも種々の方向に存在する以上、全體の變形は各單位結晶の變形を少しづつ變へて累積したものとなるであらうから、その全體の和は全く連續的な變形とならなくてはいけない。

3) 結晶辺りと結晶粒界干渉説 結晶辺りが多結晶質では不連續な變形を與へられないで、結晶辺りで不連續を説明するために結晶粒界を考へて、結晶辺りが結晶粒界で隣の結晶によって干渉され、全體が一度に辺り出すまでは内力のため、或る結晶は辺り變形を止められてゐるといふ説である。五の結晶が支へ合て辺りをある程度まで支へることは多結晶質が單結晶より遙かに大なる彈性限を有する事實を説明するために必要な説明である。しかし、それは彈性限を上昇せしめ、その後の塑性變形をも辺り難くすることには、尤もな説明であるが、之が軟鋼その他の特殊な合金だけに降伏點跡場を與へ得る説明にはならない。

單に結晶辺りだけで説明し得る現象は一般の多結晶質の變形の共通な性質だけで特殊な合金、特に軟鋼に限つた特殊性をもたすこととは出來ない。此の説も降伏點現象の特殊性を認める時には、成立しない説明である。特殊性を認めないとしろ、應力が特殊の値を有する時だけに特に大きな歪を與へ得るといふ説明は出來ない。

4) 時效説 此の説が提出された原因は第一不連續群と第三不連續群との混同によるものである。第三不連續群の説明には都合のよい説であるが、第一不連續群の説明には適當でない。第一不連續群と第三不連續群とが全く別種なものであるといふことを認める以上、第三不連續群の説明に都合のよいもので第一不連續群の説明は出來ない。

第三不連續群の説明にしろ、辺つた部分が時效硬化するといふだけでは何故に急激なる不連續的な荷重の落下があるかといふ説明には不充分である。辺れば辺り面は硬化するといふのは時效效果がなくても存在する一般的のことであつて、急激な不連續の説明には不充分である。

5) 硫素説 之は製鋼過程に於いて硫素の多く入るベッセマー鋼等は特に降伏點現象が著しいから、硫素が降伏點現象の原因であらうとする説であつて、現象の發生機構には深く立てるべし實驗的の推論に過ぎない。しかし、事實である以上否めない説であるが、説明としては甚だ不充分なものである。

6) 不均一説 之も軟鋼に於いて、降伏點現象の特殊性を認め、その地鐵と炭化鐵や窒化鐵との不均一組織がある故、特殊の不連續現象が存在し得るといふ説であるが、硫素説と同様に餘り説明的のものでなく、事實を述べてゐるものであるから、不合理な點はないが不充分である。

以上のものが從來稱へられてゐた説明であつて、降伏點現象の原因として結晶型の特殊性、辺りの不連續性、辺り

と結晶粒界との干渉による不連續性、窒素の特殊性、組織の不均一性が重なるもので、前三者は不合理であつて、後二者は不充分な説である。更に時效説があるが、之は第三不連續群の説明に用ひられたもので、降伏點現象の説明ではなく、且、充分な説明ではない。

そこで、事實に立脚する不均一説に基き、不連續的な降伏點現象の發生機構を説明し、續いて起る塑性變形中の不連續、即ち第三不連續群の發生機構の説明をも試みようとするのである。即ち地鐵と少量の炭化鐵との共存による不均一組織をもつ軟鋼の特殊性を認め、これに降伏點現象の説明を求める同様の不均一組織をもつ合金のみに降伏點現象を求むれば、事實的に一致する説明を得らるゝ筈である。

### 3. 軟鋼の蜂窩組織

軟鋼の不均一な特殊組織は主として地鐵とパーライトと境界炭化鐵である。

地鐵には普通の場合は、マンガン、珪素、磷、硫黃等の不純物と共に炭化鐵が、固溶體として純鐵の中に溶けてゐる。窒素は検出が困難であるが、酸素、水素と共に多少含まれてゐると見た方がよいであらう。普通の炭素鋼では之等不純物は固溶體として地鐵に含まれて熱處理に拘はらず、常に溶解状態にあると思つてよいから、總てこれらの固溶體を地鐵と稱しておく。

但し、炭化鐵は常温で  $0.004\% C$ 、 $200^{\circ}C$  では  $0.006\% C$ 、變態點で  $0.04\% C$  位固溶し、それ以上は析出される報告<sup>1)</sup>されてゐる。しかし過飽和状態も存在し得べく、ことに結晶粒の中央の方は過飽和が大きく、粒界近くは析出され易い。

析出された炭化鐵はパーライト中の炭化鐵の厚さ、即ち  $1\mu$  前後までは結晶粒間に薄層として所謂境界炭化鐵として存在し<sup>2)</sup>、それ以上だと地鐵と共に析晶パーライトを形づくつて塊状に集まる。パーライトとなれば異物となつて熔滓等と共に包含物となつてしまふから、力学的の問題としては別に取扱ふことが出来るが、境界炭化鐵は地鐵の結晶粒間に膠著材のやうに介在するから地鐵の變形に重要な役割をする。實際に於いて  $0.004\% C$  以上炭化鐵があれば、析出されるわけであるが、析出された炭化鐵は結晶粒の周囲をぐるりと包むであらうが、顯微鏡では餘り薄いものは見られないから少しと切れたやうな部分もあるが、研磨や蝕鏽のため、薄いところは見えなくなつたのであらう。實際はつ

<sup>1)</sup> 山田喜喜雄：金研，3（昭 6）234.

<sup>2)</sup> Gmelins Handb. d. anorg. Chem 8. Auf 56 Eisen A s. 1240.

ながってゐて、結晶粒を包んでゐると考へてよい。

此の炭化鐵の薄膜は地鐵の結晶粒を包み、その粒界を埋めて、全體として蜂の巣のやうな隔壁を成し、その室の中に地鐵が充満してゐると見ることが出来る。此の組織を蜂窓組織といつておく。隔壁の主體は炭化鐵ではあるが、こゝには窒化鐵も析出されるであらうし、その近くの結晶格子も歪んで硬い層を作るであらう。これらの色々の原因で硬くなつた隔壁のことを、全體ひつくるめて境界組織といつておく。要するに、軟鋼は地鐵と境界組織とよりなる蜂窓組織を有する故に、降伏點現象を發生するのであると考へる。故に同様な組織を有する合金にも降伏點現象は現はれてもよいわけである。

## II 蜂窓組織による降伏點現象の説明

1. 蜂窓組織と降伏點現象との關係 地鐵が蜂窓組織をなしてをることより外に降伏點現象の原因と認められるものが發見出来ないなら、その原因である蜂窓組織を崩壊することが出來れば、降伏點現象は減衰し、又蜂窓組織を恢復せしめれば降伏點現象は再び現はれる筈である。之を前報\*の實驗結果によつて検討してみる。

1) 境界組織の吸引による蜂窓組織の崩壊 蜂窓組織を崩壊するにその境界組織を焼入によつて吸收せしめて見る。地鐵の境界炭素溶解量は溫度の函數であつて變態點以上では全く吸收されてしまふ。故に焼入によつて境界組織の炭化鐵は吸收されて蜂窓組織の主體の一つである境界組織は消失されるであらう。その状態は\* 第29圖寫真4に正常状態を、寫真5に焼入状態を示した通りである。かく焼入した軟鋼は降伏點現象を現はさないが、焼戻の溫度を高めてゆくと降伏點現象も段々と顯著になつてゆく。即ち境界組織乃至蜂窓組織と降伏點現象とは熱處理によつて可逆的關係を有することを示してゐる。

2) 壓延による境界組織の破壊 冷間壓延によつても蜂窓組織を機械的に破壊し、纖維状組織となすことが出来る。即ち軟鋼は冷間壓延によつても荷重一伸曲線を全く一變して、蹠場も消え、同時に Lüders 紙も出なくなる。即ち蜂窓組織の破壊は降伏點現象の消滅を來すことは、此の場合も亦事實が示してゐる。しかも再結晶を伴はない低溫燒鈍では殘留内力の取れるために多少の變化は起るが、降伏點現象は決して恢復しない。再結晶溫度まで加熱して蜂窓

組織を再生せしむる燒鈍によつて始めて降伏點現象は現はれて来る。

3) 引張加工と時效々果 引張加工の如き弱い加工によつては蜂窓組織は完全に破壊せられず、結晶群にひびが入つたり、結晶中にこりが起つたりするだけである。此の程度の破壊であると、僅か  $100^{\circ}\text{C}$  1h の如き時效程度の燒戻によつて降伏點現象は恢復せられる。同時に時效硬化も著しく效くが唯強さが大きく、伸びの小さい荷重一伸曲線を示すやうになるだけで降伏點現象は立派に認められる。

引張加工も局部收縮の起るやうな大きな加工となつて、結晶粒が纖維組織を呈するやうになれば此の程度の燒戻によつては降伏點現象は恢復出来ず、降伏點現象の恢復のためには再結晶を必要とするに到る。

4) 冷間壓延板の時效々果 正常状態になした材であると引張加工後、時效によつて降伏點現象は恢復するが冷間壓延板及び再結晶に到らない燒戻をした壓延板では引張加工後でも  $100^{\circ}\text{C}$  1h の如き時效によつては降伏點現象は恢復しない。即ち元來蜂窓組織を有しないものは蜂窓組織を有するものと同じ取扱をなしても降伏點現象は再生しない。

以上の如く熱處理にしろ、機械的操作にしろ、蜂窓組織を破壊すれば降伏點現象は消滅し、之を恢復すれば降伏點現象も再現する。かく蜂窓組織と降伏點現象とは不可分のもので可逆的關係を保てゐる。

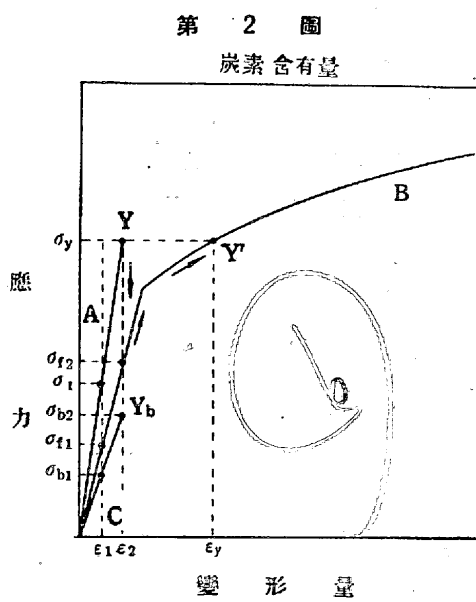
2. 蜂窓組織による降伏點現象發生機構の説明 以上述べた如く實際の現象から、軟鋼に降伏點現象の存在することは軟鋼の特異な組織、即ち蜂窓組織によるに非ざれば他に原因を求め難く、又降伏點現象と蜂窓組織とは不可分な可逆的關係を示してをることを歸納することが出来る。故にこの事實よりして降伏點現象の發生原因として蜂窓組織を考へなくてはならない。然らば此の2者の間に可逆的關係は如何なる機構の下に生じ得るであらうか。その説明を次に試みよう。

力學的に不均一な組織の材質に單一應力がかゝれば、各部分は同一變形を起さなくてはならないからその應力は各の組織に分擔されるであらう。蜂窓組織に於いても應力によつて變形が起る時、地鐵と境界組織は應力を負擔する主要應力要素となるであらう。然るに境界組織は脆いから、少し變形が増大すれば地鐵より先に切斷する。然るに蜂窓組織では境界組織が切斷しても地鐵があるから應力要素は地鐵のみに移る、地鐵はその時の應力に相當するまでの變

\* 前報

形を生ずるであらう。その変形の量は境界組織の切れる瞬間の全應力を抵抗すべき地鐵の変形量を必要とする。應力一変形量の比の小なる地鐵では、同一の應力に對して境界組織より遙かに大きな変形量を生じなくてはならない。此の同一應力に對して生じた変形が降伏點の踊場として現はれるのである。又、境界組織が切れて地鐵に大きな変形の生じた部分が Lüders 緒として見えると考へることも、不合理ではない。かく降伏點現象は蜂窩組織に於ける應力要素が境界組織を含めた全組織から地鐵のみに移る過渡現象として考へられる。降伏點後は地鐵が主要應力要素となつて變形して行くから、その後は純鐵或は他の普通の柔軟金屬と同様な性質を示すのである。

境界組織は少なくとも白銑位の強さ(抗張力  $26 \text{ kg/mm}^2$ )と脆さ(伸び 0, 硬度 420 B.H)を有するであらうが、地鐵は純鐵に近い強さ(抗張力  $29 \text{ kg/mm}^2$ )と粘さ(伸び 58%)とを有すると考へてよい。しかし、蜂窩組織のやうな複雑な構造を形成してゐるから、此の値はそのまま用ひられないが、この程度に強さと脆さとが異なることだけは確かであらう。ヤング率は彈性限内では餘り異らないにしても、塑性變形の應力/變形の比は大いに異なる。又應力に垂直な平面内に於ける境界組織の全斷面積ももとより測定が出来ない。境界組織と地鐵との各の全體の強さも測定することは出来ないから概念的ながら、線圖をもつて説明することにする。



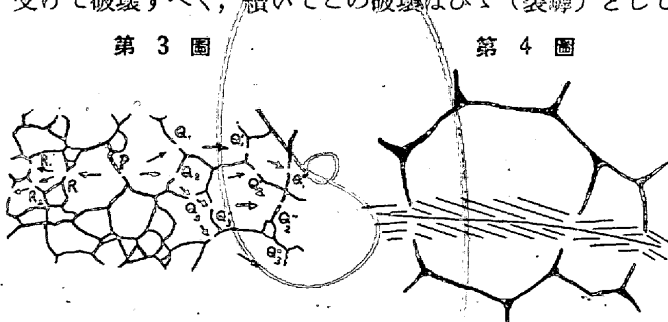
第 2 圖  
炭素含有量

の最大伸び  $\epsilon_y$  に等しい變形量を全組織に與へる。その時の地鐵の分擔應力を  $\sigma_f$  とする。伸が少しでも増せば、境界組織は切斷し、最早その分擔應力を  $\sigma_b$  を分擔出來ず、地鐵は試片全體の應力  $\sigma_y$  を引受けなくてはならなくなる。即ちここで地鐵の分擔應力は  $\sigma_f$  から  $\sigma_y$  まで飛躍しなくてはならない。從て變形も  $\epsilon_y$  から  $\epsilon_y'$  まで飛躍しなくてはならない。圖に於いて試片全體の應力-變形の關係は Y の位置から  $Y'$  に移ることになり、應力-變形曲線は OY-Y'B と進むことになる。即ち YY' 間に過渡現象が生ずるわけである。これを軟鋼に於ける降伏點の踊場發生機構と考へるのである。

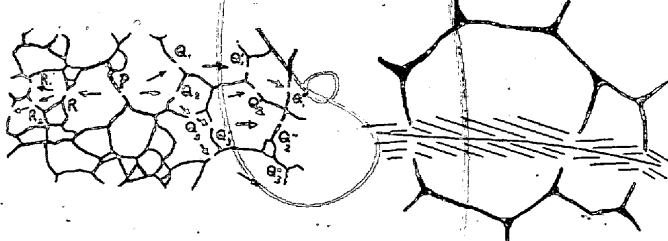
試片の平行部全體に一度に此の現象が起れば極めて不連續のものとなるであらう。 $250^\circ$  に於ける試験の場合にかくの如き甚しき現象を見るのである。常温では平行部の一方の端より順々になしくづしに起て行くため、この過渡現象も細い不連續の集積として現はれ、踊場は一見水平のやうに見えるのである。試験速度が遅ければなしくづでなく、かなりの長さに亘て現はれるので踊場中にもぎざぎざの不連續が生ずる。

その溫度による影響は項を改めて説明することゝし、今は境界組織の切斷により、應力要素の過渡現象を結晶粒群について機械的に説明するに止める。第3圖の如き蜂窩状組織に於いて境界組織の強さは一樣でないと考へる方が當然である。故に、最大伸びを超えた後の境界組織の切斷は第3圖の如く、ある一點で起るべきで、その點を P とすれば、P が切れればその兩側の點 Q, R は餘分な應力を受けて破壊すべく、續いてこの破壊はひゞ(裂縫)として

第 3 圖



第 4 圖



$Q_1, Q_2, Q_3, \dots, R_1, R_2, R_3, R_4, \dots$  と進んでこの断面を通して境界組織の変形は傳播し、この断面に於いて降伏點の過渡現象は行はれるであらう。此の断面に於いて境界組織が切斷し終れば次の断面 S, T, \dots と順々に次の境界組織は切斷して行くであらう。かく顯微鏡的断面として順々に進んでゆけば降伏點現象は肉眼的には統計的な連續的現象として現はれるであらう。實際は此のひゞの進行はも

う少し集塊的に進行して眼に認め得られ、所謂 Lüders 紙といふのが此の表面の現はれに相當すると考へればよい。

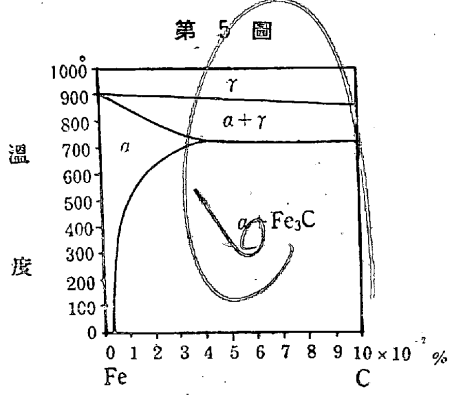
顯微鏡的現象としては裂縫帶と名付けたものがこれである。第3圖のPQRの近くをもつて擴大して第4圖に示す。P點で境界組織が切斷し、續いてQ點及びR點も切斷した。よってP, Q, Rの境界組織が分離してゐた應力をも、その中につまつてゐる地鐵だけで急に受持つたから、地鐵は變形してそれに應じた應力に抵抗しなくてはならない。しかし、その變形は境界組織が切斷した部分だけで起きなくてはならない。他の部分は切斷しない境界組織に密着し、境界組織が變形しなくては變形出來ない筈である。よってこの切斷した境界組織の割目を結んだ線を通じて地鐵の激しい變形が生ずるべきである。これが裂縫帶として顯微鏡下に見え、且、結晶粒の方向とは獨立に境界組織の割目を結ぶ連續的な第3圖に断線で示したやうな線であるべきである。

### 3. 降伏點現象に影響を與へる條件の解釋

降伏點現象は色々の條件によって影響を被る。その機構を蜂窩状組織をもつて説明してみる。

1) 試験温度 試験温度が青脆温度(250°C附近)に近づくと、降伏點現象の不連續は次第に著しくなり遂には一度の不連續で降伏點現象は終つてしまふ。それ以上高溫になると再び不活潑になり、遂に300°Cを超れば降伏點現象はなくなり普通の柔軟金屬のやうな荷重一伸曲線を示し、Lüders 紙も出なくなる。

此の原因として境界組織の強さが考へられる。即ち析出境界炭化鐵の量とその強さである。前者は第5圖<sup>2)</sup>に示し



た如く250°から急に吸收され  
てα-地鐵に固  
溶してしまふ。  
一方境界炭化鐵  
の強度は測定出  
來ないが一般物  
質と同様溫度上  
昇と共に脆さを  
減じ強靱となり、次で軟化すると考へられる。よって溶  
解度と強度とに及ぼす溫度の影響を同時に考へて常溫附近  
では脆く、200~250°Cで最も強靱となり、250°を超え

ると共に軟化吸收されるとすれば、此の問題は容易に解決される。境界組織が破れる時はひゞと見てよい。ひゞ(裂縫)はある程度まで位置勢力が貯へられてゐるところへ機會となるきっかけが與へられると、その位置勢力は瞬間に運動勢力に變化して裂縫が生じ、その後にはさういふ勢力は消失してしまふものである。

溫度の低い間は脆いから位置勢力は多く貯へられず、一端より切斷して行くが、溫度が上り組織が強靱となれば次第に位置勢力の貯へられるべき量が増してゆく。荷重によつて與へられる勢力は境界組織中に彈性變形の位置勢力として貯へられるであらう。その貯へられるべき位置勢力も遂に堪えられなくなれば、その時に發散せられる量が増して行くために降伏點現象は著しく現はれて、踊場も、少數の激しい衝擊で終り、Lüders 紙の幅も廣くなつてゆくことは當然である。溫度が更に上昇すると強靱の度を超えて軟化し、同時に炭化鐵が境界組織として析出せられず、地鐵中に吸收されるやうになつてゆけば、降伏點現象も衰退して行くのが當然である。

境界組織が最も強靱になり、吸收も餘り起らない點が、250°C前後で、それ以上では軟化、吸收が起つて來ると考へれば、青脆溫度で降伏點現象が活潑になり、それを超れば消滅してゆくのは當然である。逆にかかる裂縫現象が活潑になることは材料を脆くひびが入り易くなることであるから青脆現象もその結果であると考へることは不都合でない。

2) 焼入の影響 上述第1節(2)のやうに、降伏點現象は焼入により消滅し、焼戻により恢復するのが、それがγ鐵への變態のためにないなら、地鐵が境界炭化鐵を吸收するためでなくてはならない。結晶化りと降伏點現象との關係を論ずる假説については、その論據がわからず、内部歪乃至内力を云々しても、焼入によって内力が増したから降伏點現象が何故消滅するのか解釋に苦しむ。

若し焼入によって境界炭化鐵が地鐵に溶解するので<sup>3)</sup> 境界組織が消滅することを認めるなら、境界組織の存在によつて發生した降伏點現象が焼入によつて消失するのは當然であつて、同時に焼戻による境界炭化鐵の析出が降伏點現象を恢復するのと解釋せられる。

3) 結晶粒の大きさの影響 境界炭化鐵は、パーライト中の一枚の炭化鐵の層より厚くはなれないと見てよい。

<sup>2)</sup> Gmelins Handb. よりとる。前掲

<sup>3)</sup> J. H. Whiteley J. Inst. Ir. and St. CXVI (1927), 293.

よつて結晶粒の直徑  $d$  の如何に拘はらず、その厚さの最大限には一定の値を有する。又、境界炭化鐵と共に境界組織を強化すべき窒化鐵や結晶格子の歪んだ層等の厚さも一定の最大値を有するであらう。境界組織の厚さは之等の和と考へられるから、從て最大値  $\epsilon$  を有すべきである。

同一断面の中の単位の幅に於ける境界組織と地鐵との分擔すべき應力の比は  $\sigma_b \cdot t : \sigma \cdot d$  である。但し  $\sigma_b$  及び  $\sigma$  はその應力強度、  $t$  及び  $d$  は試片単位断面積中に於ける境界組織の平均の厚さ及地鐵の平均直徑を分數で表はしたものとする。

兩組織の變形量を常に等しいと見れば、

$$K_r \cdot \sigma_r \cdot d = K_b \cdot \sigma_b \cdot t$$

但  $K_r, K_b =$  各組織の變形應力の比

降伏點で境界組織の切れる前後の地鐵の分擔應力の増加は

$$\Delta \sigma_r \cdot (\pi/4) d^2 = \sigma_{by} \cdot t \cdot \pi d$$

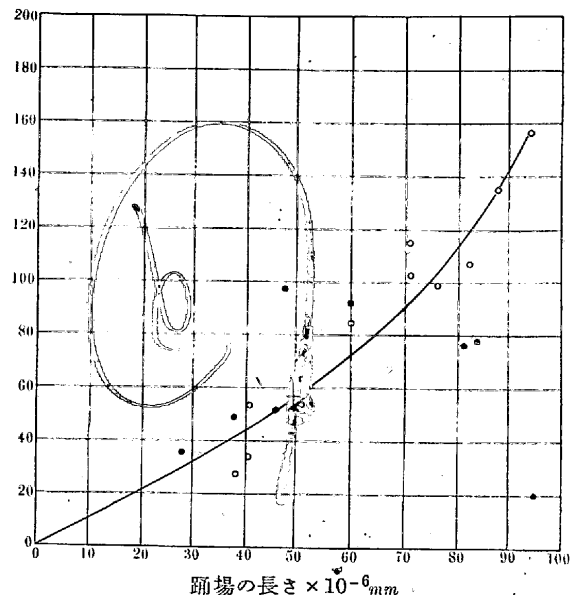
$$\Delta \sigma_r = 4\sigma_{by} \cdot t/d$$

故に境界組織の厚さ  $t$  は最大値を有するから、境界組織の切斷による地鐵の分擔應力の増加は地鐵の直徑の増大と共に小さくなる。

然るに、境界組織の切斷に於ける變形量はその分擔應力の如何に拘はらず、その組織の最大伸びである筈であるから、一定値  $\epsilon$  をもち更に、變形量は常に境界組織と相等しい筈であるから、境界組織切斷直前の地鐵の全變形量も一定値  $\epsilon$  をもつ筈である。つまり、境界組織も全蜂窩組織の變形が一定量  $\epsilon$  に達するまで切斷しない。唯その切斷による分擔荷重の過渡量即ち地鐵の分擔應力の増加は地鐵の直徑に逆比例して小さくなるべきである。この外力が一定でありながら地鐵の分擔應力の増加は、外力一定の下に新たなる變形量の増加を必要とする。即ち降伏點の踊場の發生となり、踊場の長さは此の増加量を意味する。故に地鐵の直徑の増大は踊場の長さを短かくし、降伏點現象の減衰を來すのである。そして、遂には降伏點現象を認め得ぬまでにする。結晶粒は不規則の形で、應力も結晶粒の方向や形に影響されるから、この計算通りには行かぬであらうが、踊場の長さと結晶粒の直徑の逆數、即ち単位面積中の結晶の數との關係を Edward & Pheil の實驗<sup>4)</sup> にあたってみると第6圖のやうに、よく比例することを知る。

又、降伏點の始まる點の變形量は境界組織の伸びと見る

第6圖 結晶粒の大きさと踊場の長さとの關係(黒點と白點とは夫々二組の實驗の値)



べきで、その點の強さは主にその變形を起すべきときの地鐵の強さに支配される。地鐵自身も蜂窩組織には關係なく結晶粒の大きさと反比例して強くなることは純銅や純アルミニウムの如き金屬と同様に考へてよい。又、後述のやうな處理によつても強くなる。即ち降伏點の強さは主に地鐵の一定の變形量  $\epsilon$  を生ずる時の強さによる。

かく、結晶粒の増大と共に降伏點現象の衰退することは現象としても實際に證明し得ると共に、蜂窓組織によれば容易に證明し得るのである。これも降伏點現象が蜂窓組織によつて説明してよいといふ一つの根據を與へるものである。

一方、内力の殘留や、結晶辺りから説明しやうとすれば、燒入の際と全く逆になつて不都合である。即ち燒入によれば内力が増大し結晶辺りが困難になるに反し、結晶粒が成長すれば内力がとれ、結晶辺りが容易になる。此の二つの現象は内力や結晶辺りから見れば、全く正反対であるに拘はらず、降伏點現象に關しては同じ傾向を有し、兩方の場合とも降伏點現象の衰退を示してゐる。これは降伏點現象を内力や結晶辺りを以て説明することの自家撞着を示し、その説明の不適當なることを證明してゐる。

此の現象からいっても、降伏點現象は蜂窓組織を以て説明した方が便利である。

4) 炭素含有量の影響 炭素含有量が 0.1% 前後である場合に降伏點現象は最も著しく、極度に少なく純鐵に近かつたり、或は地鐵結晶粒がなくなる程多い場合には降伏點現象は衰退する。

<sup>4)</sup> C. A. Edward and L. B. Pheil: T. Inst. Ir. and St. CXII (1925), 79.

降伏點現象が蜂窩組織によるものとすれば、地鐵と境界炭化鐵との共存が必要である。故に炭素量が極度に少なければ境界組織は薄弱となつて、その作用をなさないことは焼入や結晶粒の大きな場合と同様である。又、炭素量が0.1%以上にもなれば餘分の炭化鐵はパーライトを形づくって、境界炭化鐵を強化しない。然るに境界炭化鐵とならないパーライトは蜂窩組織に比し、斷然強いため、變形に際しては異物として地鐵の變形の邪魔をするだけで、自身は餘り變形しない。<sup>\*</sup> 故に炭素量もパーライトとしての増加は、降伏點現象の發生に邪魔にこそなれ、成長には助けとならない。そして地鐵の體積の減少も降伏點現象の衰退を伴ふことは當然である。かく、降伏點現象に及ぼす炭素量の影響も蜂窩組織を以てすれば容易に説明せられる。

**4. 降伏點以後の塑性變形の説明** 以上、降伏點現象を蜂窩組織によって説明して來たが、降伏點で境界組織が切斷され、主要應力要素が地鐵に移て後の塑性變形に於いて蜂窩組織は如何なる役割をなすか一通り考へてみよう。

境界組織は張力に對して切斷したが、塑性變形に際して剪斷力による横の運動に對しては尙抵抗し得る。しかし、既に裂縫帶が出來てゐるから、裂縫帶が辻り面となり得るので、餘り大きな抵抗とはならないであらうが、尙相當な抵抗をなし得て、純鐵とは變形が異なるであらう。又、溫度が上れば、炭化鐵の地鐵への溶解が生じるから色々の問題が生じるであらう。

1) 境界組織と伸び 境界組織は剪斷辻りにも勿論障害とならう。それで境界組織の甚だ弱い電解鐵と、少しは存在すると思へる Armeo 鐵との間には伸びに大きな差を生ずる。<sup>\*\*</sup> しかし、境界組織が充分に生ずれば、炭素量が少し増しても餘り影響ないため、Armeo 鐵と軟鋼との間には餘り著しい差はなくなる。しかし、此の問題は蜂窩組織のみで解決すべきでないかも知れない。地鐵そのものの性質も多分に影響するであらう。

2) 加工時效々果 燒鈍された地鐵でも幾分かの過飽和は免かれない。結晶粒の周圍の境界の自由面に近いところは原子の移動も樂で、過飽和の炭化鐵は充分に析出されて平衡状態に近づいても、中心に近い部分の炭素原子は充分に粒界まで、移動出来ないであらう。ところが、中心であつた部分に自由境界面が生じ、移動し易い溫度に置かれたなら、そこに新たな炭素原子の析出があつてもよい。

この現象は引張加工で裂縫を生ぜしめておいた後、時效效果の活潑になる溫度に熱すれば當然發生しなくてはならない。實際に於いても、引張加工後の時效<sup>\*</sup>により、降伏點現象は恢復し、蜂窩組織の再生したことを必要としてゐる。即ち、引張加工によつて生じた裂縫面は炭素析出に對しては新しい自由境界面となり得るから、若し炭素原子の運動を活潑ならしめる溫度に熱すれば、過飽和の炭素原子は此の自由境界面に析出されてよい。此の過飽和の炭素原子は炭化鐵として、裂縫面を癒著せしめ得るであらう。そしてこゝに新たな境界組織は結成せられて、前より一層細かな蜂窩組織は生じ、降伏點現象も亦再生し得ることにならう。そして蜂窩組織が細くなるために降伏點は強化されるであらう。勿論地鐵も變形のために硬化されてはゐるが、降伏點の踊場の強さも強化してゐるのは蜂窩組織の前に破れたところは癒著によつて強化され、より以上強いところでなくては破れなくなつたためと考へてよいであらう。

これが引張加工による時效硬化の原因として考へらるゝところであつて、その説明には矛盾はないと思はれる。しかし時效溫度では、纖維組織は正常状態に戻り得ないから、纖維状組織になつたものでは蜂窩組織による現象は起り得ない。引張加工にしても、局部收縮をするやうな大きな加工を與へれば、壓延等による加工と同様、纖維状組織となり、時效によつて降伏點現象は起り得なくなる。

3) 試験溫度 引張加工を與へた後、時效溫度に保て時效硬化すると、降伏點現象が恢復されるが、これを同時にすれば、同様な現象は起るとは限らない。時效々果は時效といはれる位、時間を第一の函數とする現象であるから、いくら緩徐に引張でも進行状態で熱したのと靜止状態に放置したのとでは全く同じ現象は起り得ない。

時效々果は過飽和な炭素が自由境界面に析出せられることであるといふ前提を許すなら、その移動時間が問題である。連續的に變形による裂縫面に析出した炭素原子が集まるとすれば、裂縫面は充分の析出がないうちに變形せしめられるから、強靭な境界組織は生ずる暇がない。それで引張應力に抵抗の出来る蜂窩組織は形成せられない。然し變形の主要面であった裂縫面を癒著して辻り變形に相當の抵抗を與へ得る位のことは考へてもよい。そのため辻り變形が裂縫面で出來なくなると、他の部分即ち、裂縫帶の生じ

\* 前報第3章第4節

\*\* 前報第5章2第37圖

\* 前報第4章4

なかつた蜂窩組織の残部で辺り變形を餘儀なくされる。

引張應力に對しては挫屈は生じないが、剪斷應力に對しては挫屈が生じる。よって塑性變形の進んだ場合は剪斷辺りを生すべく、よって挫屈が起り、ために Lüders 縞のやうに、裂縫として幅ある面積の變形が一度に生ぜず、挫屈による細い辺り縞が生じると考へられる。そして挫屈し易いところから挫屈は生じ、次第に大きな荷重でなくては出なくなる。從て之に伴ふ辺り縞も不連續も次第に大きくなり、遂に全部が一様な強さの下に、辺り縞も盛に出だして最大荷重に於ける大きな不連續群となつて現はれるのである。

此の機構には境界組織のやうな不均一組織があれば充分であつて、蜂窩組織として全部が連絡してゐる必要はない。よって脆い境界組織がべつとりと結晶粒を包む必要がないから、さういふ不均一組織は蜂窩組織を必要とする軟鋼より多種の合金中に存在し得るであらう。即ち、時效によつて硬い組織を生ずるものなら、その硬いものがどんな形をしてをつてもよいから、時效を果すする材料には何れも此の第三不連續群に相當するものは存在し得べく、實際にも時效合金には認め得るのである。

### III. 模型による力學的説明

1. 降伏點蹄場の生成模型 以上で、降伏點現象は蜂窩組織によつて生じ、蜂窩組織を崩壊消失せしむれば同一組成の物質にも降伏點現象は消失することを實驗的事實より歸納して説明して來た。然らば、之を模型的に再生出來ないかといふことは興味あることである。蜂蜜のつまつた蜂巣で實驗してみると面白いであらうが、今は金屬を使つて模型の製作を試みてみる。その模型も蜂窩状にしたいのであるが、製作が困難であるから、蜂窩組織の一斷面として脆くて弱い境界組織と粘くて強い地鐵とが横に列んでをつて上下面が固定してある模型を作ることにした。即ち、地鐵に相當する粘い線金と境界組織に相當する脆い線金と一緒に一束として、その全體の抗張試験をしてみる。蜂窩組織は此の模型を縱に幾組もつなげたものと思へばよく、この模型は一本の Lüders 縞の出た短い長さだけ相當する。

かゝる不均一な荷重-伸びの關係をも線金の束を同時に抗張試験すれば、同じ伸びに對して、各線金は各の應力變形比  $K$  に相當する應力によつて荷重を分擔するであらう。しかし脆い線金は細いため直に切斷し、分擔してゐた

その應力は粘い方の線金にかかるであらうから、その線金は急激に伸びを生じるであらう。そしてそこに、一本の Lüders 縞に相當する降伏點の蹄場が生ずる筈である。この方針の下に次のやうな實驗をなした。

1) 銅板を用ひた模型 冷間壓延のまゝの銅板を脆い組織とし、それを焼鈍したものと粘い組織として、硬板一枚、焼鈍板4枚を組合して一つの模型を作た。

各板は厚さ 1mm、幅 20mm、平行部の長さ 25cm の普通の抗張試験片の形とし、之を前記の組合せで5枚重ね、拘みの部分を半田付けした。これを抗張試験すれば第7圖線圖 1 のやうな荷重-伸曲線を得た。その切斷後の試片を同圖寫真 1 に示す。

此の場合、硬板が強過ぎて、且、その伸びが大きかつたため、實際の蹄場とは餘り似たものが生じなかつたが、その機構は想像される。

2) 銅線を用ひた模型 板の代りに線を用ひ、硬線には硬引線及び焼入鋼線を用ひた。その太さ及び力學的性質は次のやうである。

第 11 表

	焼純線	硬引線	焼入鋼線
直 徑 (mm)	0.80	0.45	0.30
抗張力 (kg)	26	14	22
伸 び (%)	20	1.4	0.2

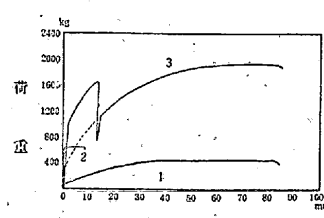
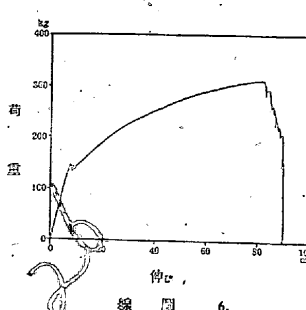
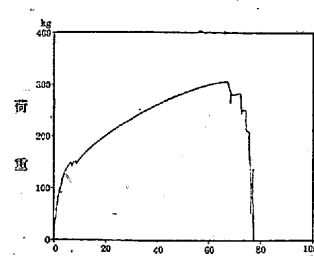
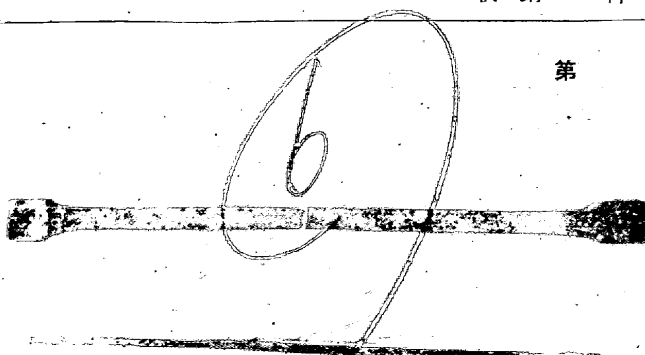
抗張力は1本の強さである。

かゝる性質の線金を焼鈍線 30 本に對し、夫々硬引線、1, 2, 3, 4, 5, 10, 20 本及び焼入鋼線 3, 6, 10 本を加へて、10 種の模型を作た。全長 35cm とし、兩端 5cm づつを半田付とし、31~50 本で一束とした。

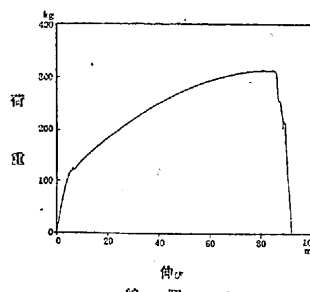
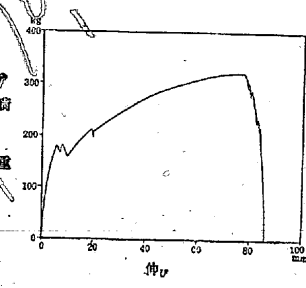
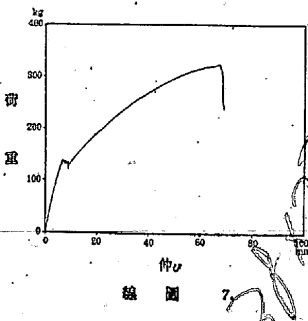
標點距離 20cm の Amsler 式自記測伸計をつけて、Amsler 2 ton 線金試験機で抗張試験を行つた。銅線 30本、銅線 3 本一束の模型の切斷後の形を第7圖寫真 1 に示す。荷重-伸曲線を自記せしめたものは同線圖 2~12 に示す通りである。何れも蹄場を有し、特に線圖 5, 6, 8 及び 12 は上部及び下部の降伏點まで示してゐる。

製作上、各線の長さを絶対に等しくすることは出來ないので、硬線は一本づゝきれていて本數が増しても、下部降伏點の値は上らない。唯、蹄場にぎざぎざが段々と多くなり、蹄場が長くなつた丈である。最初の 2, 3 本が殆ど同時に切れたため、上部降伏點のやうなものが生じたものもある。即ち、此の 2, 3 本の切斷した時の強さは、各の強さの幾分重たものとなつたが、後のものは多く 1 本づゝ切れたため、下部降伏點のやうな低い値を示した。

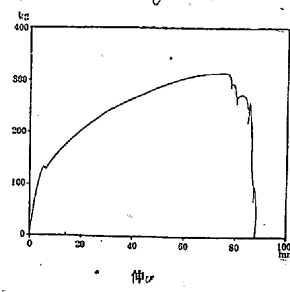
第 7 圖



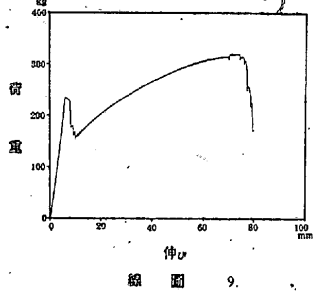
線圖 1. 實驗 1. 鋼板



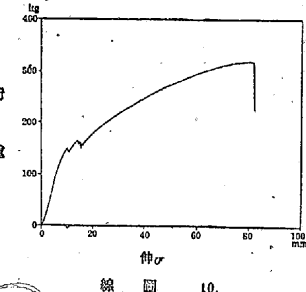
線圖 2.



線圖 3.



線圖 9.



線圖 10.

## 2. 結果の吟味 上の実験の結果を數量的に吟味してみる。

焼鈍線と硬線との應力—變形の比を  $K_a, K_c$  とし、一束の本數を  $N_a, N_c$ 、一本の抗張力を  $\sigma_a, \sigma_c$ 、伸びを  $\epsilon_a, \epsilon_c$  としておく。

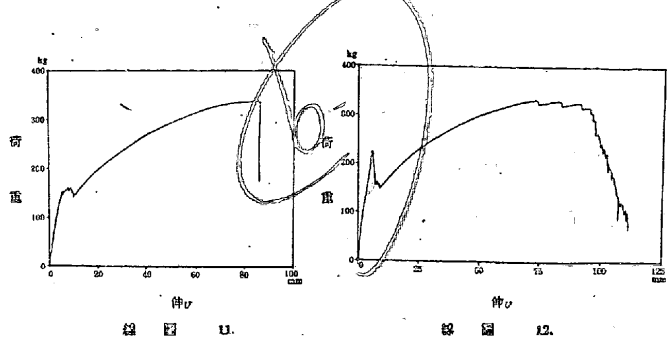
上の模型で總べての線を一樣の長さに、互にたるみがないやうに半田付けして試験機の摺みに衝へさせることは實験に於いて甚だ困難である。互の線の間に多少の長短が出来、たるみが出來勝ちである。そのたるみの大きさは、硬引線の伸びに對しては見逃せないが、焼鈍線の全體の伸びに對しては餘り大きくなから省略してもよい。

今、標點距離  $l$  をもつ最短の硬線に對して、他の硬線のたるんである量を  $\delta l_1, \delta l_2, \delta l_3, \dots, \delta l_{n_c-1}$  とし、焼鈍線のたるみを  $\delta l_n$  とし、

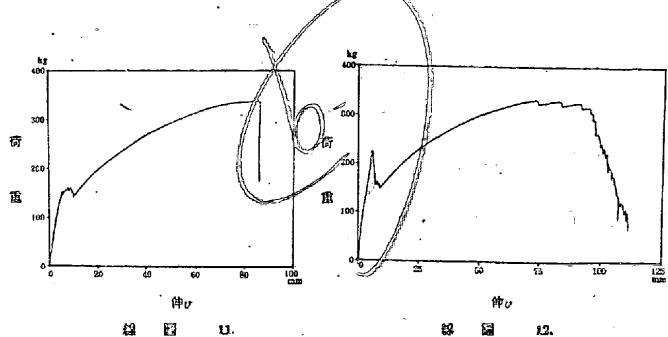
$$\delta l_1 < \delta l_2 < \delta l_3 < \dots < \delta l_{n_c-1}$$

としておく。

荷重をかけていって最短の硬線がその最大の伸び  $\epsilon_c$  に達した時の全荷重を  $W_1$  とすれば、 $W_1$  は此の硬線の最大強度  $\sigma_c$  と、残りの硬線が伸び  $\epsilon_c$  に對して分擔してゐる



線圖 11.



線圖 12.

る荷重  $W_a$  と、焼鈍線が同じく伸び  $\epsilon_c$  に對して分擔してゐる荷重  $W_a$  との和である。

$$\text{即ち}, \quad W_1 = \sigma_c + W_a + W_{a1}$$

然るに硬線の變形としての眞の伸びは  $\epsilon_c l - \delta l_1, \epsilon_c l - \delta l_2, \dots, \epsilon_c l - \delta l_{n_c-1}$  であるから、

$$W_{a1} = k_c \left\{ \frac{\epsilon_c l - \delta l_1}{l + \delta l_1} \right\} + k_c \left\{ \frac{\epsilon_c l - \delta l_2}{l + \delta l_2} \right\} + \dots + k_c \left\{ \frac{\epsilon_c l - \delta l_{n_c-1}}{l + \delta l_{n_c-1}} \right\}$$

但、負の項は捨てる（以下之に準ずる）。 $k_c$  は硬線の應力—變形の比である。

硬線であるから切斷に到るまで伸びの如何なる程度によらず、 $k_c$  を不變と見、 $l$  に對して  $l + \delta l_{n_c}$  を  $l$  と見做し、 $\delta l_m/l$  を  $\delta_{n_c}$  で表せば、

$$W_{el} = k_c \left\{ (\epsilon_c - \delta \epsilon_1) + (\epsilon_c - \delta \epsilon_2) + \dots + (\epsilon_c - \delta \epsilon_{n-1}) \right\}$$

$$= k_c \left\{ (n-1)\epsilon_c - \sum_1^{n-1} \delta \epsilon_m \right\}$$

又,  $\delta l_a/l = \delta \epsilon_a$ , 軟線の應力變形の比を  $k_a$  で表せば

$$W_{al} = n_a k_{al} (\epsilon_c - \delta \epsilon_a)$$

依て

$$W_1 = \sigma_c + k_c \left\{ (n-1)\epsilon_c - \sum_1^{n-1} \delta \epsilon_m \right\} + n_a k_{al} (\epsilon_c - \delta \epsilon_a)$$

硬線 1 本が切斷すればその時の荷重は

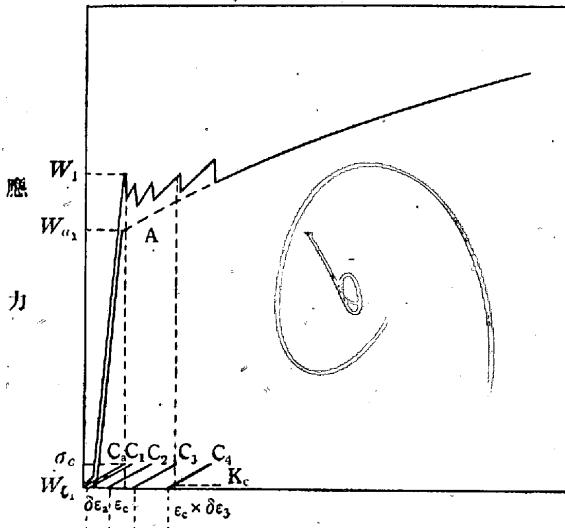
$$W'_1 = W_1 - \sigma_c = k_c \left\{ (n-1)\epsilon_c - \sum_1^{n-1} \delta \epsilon_m \right\} + n_a k_{al} (\epsilon_c - \delta \epsilon_a)$$

となる。

これを圖示すれば第 8 圖のやうになる。

A は軟線の應力-變形曲線で、C は硬線のを表す。たるみ及び伸びは標點距離  $l$  で割った比で表す。上述のや

第 8 圖



うに軟線にはたるみ  $\delta \epsilon_a$ , 硬線はそれぞれたるみを最短のものに對して,  $\delta \epsilon_1, \delta \epsilon_2, \delta \epsilon_3, \dots$  を有す。最短の硬線 C の最大伸び  $\epsilon_0$  と等しい伸びによつて生じる應力は軟線では  $k_{al}(\epsilon_c - \delta \epsilon_a)$ , 硬線  $C_1$  では  $k_c(\epsilon_c - \delta \epsilon_1)$ ,  $C_2$  では  $k_c(\epsilon_c - \delta \epsilon_1) \dots$  である。よつて  $\epsilon_c$  の伸びによつて生じる綜合應力  $\sigma_1$  は之等の和である。圖では軟線個々のたるみを省略し,  $K_{al}$  で  $n_a$  本全體として應力-變形の比を表しておく。即ち,

$$K_{al} = n_a k_{al}$$

第 2 本目の硬線の切斷前の荷重は

$$W_2 = \sigma_c + k_c \left\{ (n-2)(\epsilon_c + \delta \epsilon_1) - \sum_2^{n-1} \delta \epsilon_m \right\} + K_{al} (\epsilon_c + \delta \epsilon_1 - \delta \epsilon_a)$$

第 m 本目の硬線の切斷前の荷重は

$$W_m = \sigma_c + k_c \left\{ (n-m-1)(\epsilon_c + \delta \epsilon_m) - \sum_{m+1}^{n-1} \delta \epsilon_m \right\} + K_{al} (\epsilon_c + \delta \epsilon_m - \delta \epsilon_a)$$

最後の 1 本の硬線が切斷する前の荷重は

$$W_{n-1} = \sigma_c + k_a \{ \epsilon_c + \delta \epsilon_{n-1} - \delta \epsilon_a \}$$

となり最後の 1 本が切れれば、荷重は燒鈍線で堪えなくてはならない。その 1 本が切れる前の荷重に堪えるためには次の量だけ變形しなくてはならない。

$$\delta l = (\epsilon_c + \delta \epsilon_{n-1} - \delta \epsilon_a + \frac{k_c \epsilon_c}{K_{al}}) l$$

とならなくてはならない。即ち、之が蹄場に於ける伸びの全長に相當する量である。

$\delta l$  は模型製作の際に生ずるたるみであるから、その影響を吟味してみる。

$$(1) \quad \delta l_1 = \delta l_2 = \dots = \delta l_{n-1} = \delta l_a = 0$$

總べての線金にたるみがない場合である。1 本の硬線が切斷しやうとする前の荷重は

$$W_1 = \sigma_c + k_c (n-1) \epsilon_c + n_a k_a \epsilon_c$$

であるが  $k_b \epsilon_c = \sigma_c$ ,  $k_a n_a = K_a$  であるから

$$W_1 = n_a \sigma_c + k_a \epsilon_c$$

となつて全部の硬線に一様に荷重がかかるつて直に硬線全部は切斷し、ために、燒鈍線は全荷重を受け

$$\delta l = \frac{k_c \epsilon_c l n_c}{K_a} = \frac{\sigma_c n_c l}{K_a}$$

だけ伸びなくてはならない。

つまり模型實驗(1)に相當するもので、實際の場合は、Lüders 線 1 本の時に似てをる。第 II 章 2 で説明したやうに境界組織應力  $\sigma_{f2}$  で切斷し、その時の地鐵の受けた荷重は  $\sigma_{f2}$  から、 $\sigma_y$  に移る。そして地鐵の伸びは  $\epsilon_2$  から  $\epsilon_y$  となる、此の場合と比較すれば

$$\sigma_{f2} = n_a \sigma_c, \quad \sigma_{f2} = n_a k_a \epsilon_c, \quad \sigma_y = n_a \sigma_c + n_a k_a \epsilon_c,$$

$$\epsilon_y - \epsilon_2 = \delta l = (\sigma_c / k_a) \cdot (n_c / n_a) \cdot l$$

に相當する。

實例として第 7 圖の模型實驗では線圖 2 の硬引線 1 本の場合に相當し、線圖 10 及び線圖 13 もこれに近いものである。又、250°C の軟鋼試験に於ける境界組織が一度に切れたやうな結果に似てをる。その荷重-伸び曲線は第 7 圖線圖 1 に示したやうに第一不連續群は唯一の不連續よりもたずして、曲線の形は模型の場合の第 7 圖線圖 2 とよく似てをる。

$$(2) \quad \delta l_2 - \delta l_1 = \delta l_3 - \delta l_2 = \dots = \delta l_{n-1} - \delta l_{n-2} = \delta l, \quad \delta l_a = 0$$

硬線の1本1本のたるみの差が順々に等しく、焼鈍線は最短の硬線と等しい長さで、少しもたるんでゐない場合である。

上の條件は

$$\delta l_1 = \delta l, \quad \delta l_2 = 2\delta l, \dots, \quad \delta l_n = n\delta l,$$

$$\delta \epsilon_1 = \delta \epsilon, \quad \delta \epsilon_2 = 2\delta \epsilon, \dots, \quad \delta \epsilon_n = n\delta \epsilon$$

と書いててもよい。よってm番目の硬線が將に切斷しやうとする時は、荷重は次のやうになつてゐる筈である。

$$\begin{aligned} W_m &= \sigma_c + k_c \{ (\epsilon_c + m\delta_\epsilon - \overline{m+1}\cdot\delta_\epsilon) + (\epsilon_c + m\delta_\epsilon - \overline{m+2}\cdot\delta_\epsilon) \\ &\quad + \dots + (\epsilon_c + m\delta_\epsilon - \overline{m+n}\cdot\delta_\epsilon) \} + K_a(\epsilon_c + m\delta_\epsilon) \\ &= \sigma_c + k_c \{ \overline{\epsilon_c} - \overline{1\delta_\epsilon} + \overline{\epsilon_c} - \overline{2\delta_\epsilon} + \dots + \overline{\epsilon_c} - \overline{n\delta_\epsilon} \} + k_a(\epsilon + m\delta_\epsilon) \end{aligned}$$

$n$ は各項が正の間だけの正の整数である。 $n$ が硬線の全數  $n_c$  より小さい間はたるんでゐる硬線があるわけで、更に伸びが加つて硬線が1本切れても、又、補充の硬線が1本加つて行く。そして常に  $W_m$  は同じ形をとつて  $n$  が  $n_c$  に達すれば、それ以後は  $k_c$  の係數の項が一つづつ減じてゆく。そして  $n$  は零に近づいて遂になくなつてしまふ。即ち、硬線は1本づゝ切れていくても始めの間は切れただけ補充されるが、ある點から補充がなくなつて等しい  $W_c$  を保つためには、 $k_a$  の項が増してゆく、そして  $k_c$  の項がなくなつたときの  $\delta l_a$  が踊場の長さとなるのである。

此のやうな規則正しいたるみを作ることはかなり困難であるが、それに近い例は第7圖線圖 5~7 の硬引線 2~4 本を加へた時の模型實驗に於いて見られる。

常温に於ける踊場とよく似た曲線を示す。しかし、之は厳密にいへば Lüders 紙 1 本の發生の時と相似な實驗で此の(2)の例のやうな場合は常温に於けるやうに Lüders 紙が一方からじわじわ進む場合に似てゐるのであって、平行部全體の降伏點現象は之を縦につないだ場合である。即ち、Lüders 紙 1 本がかくして出終ると、隣の Lüders 紙の發生が始まるが、その時は、此の模型實驗を繰り返されるわけである。さうやつて平行部全體が數本の Lüders 紙で覆はれるやうに、模型實驗も、數回繰り返へされて行はれると同様な結果を示す。

かくの如く、脆いものと粘いものと同時に應力要素となつて、外力に抵抗しやうとすれば、先づ先に脆いものが切斷し、その分擔してゐた荷重は粘いものに移行する。ために、全體の荷重-變形曲線にはその移行による不連續が現はれる。その様子は本模型實驗で了解されることゝ思ふ。實際の蜂窩組織では本實驗に用ひたやうな模型が顯微鏡的の存在としてあるから、その一つ一つの過渡的不連續によ

るぎざぎざは極めて小さく全體の集りとしては水平な直線になつてしまふ。それが前述のやうに脆い方の材料の脆さが減て破壊勢力が、位置勢力として多く貯へられるやうになれば、模型實驗の條件(1)のやうに全體の組織が一度に破れるまで保たれるので不連續も大きく一度に現はれることになる。

即ち、青脆溫度に於ける抗張試験の結果を示すことになる。更に硬線が軟かくなれば、過渡現象は無くなり、硬線も終りまで切れずに軟線と同じやうに伸びてゆく。それが即ち、青脆溫度以上の場合を示す結果となる。

かく、簡単な模型實驗によつても、脆い組織と粘い組織と、同時に應力要素として存在すれば、脆い組織が切れる時の過渡現象として降伏點現象が發生することが説明される。

## 結論

前報に報告した軟鋼の降伏點に關する諸現象について發生原因を歸納的に考察し、その發生機構を蜂窩組織によつて説明を試みた。

前報に於いて實驗的に次の諸事實を認めた。即ち軟鋼の降伏點現象である應力-變形圖に於ける踊場の發生と試片の表面に於ける Lüders 紙の出現とが全く一致し共に軟鋼の組織である結晶粒の境界組織の存在によつてのみ發生し、その崩壊は降伏點現象を消滅せしめ、又、その恢復は降伏點現象を再生せしめる。境界組織の崩壊方法として焼入による境界炭化鐵の吸收、結晶粒の異常成長による境界線の消失、冷間加工による纖維化等の諸現象を用ひ、恢復には燒鈍を用ひた。

續いて降伏點現象に及ぼす溫度の影響を實驗し、青脆溫度に於いて最も活潑となり、それ以上の高溫となれば、再び衰減してゆくことを觀察し、青脆溫度に就いては降伏點に於ける不連續以外に最大荷重に近く「第三不連續」と稱した「辺り縞」と呼ぶ肉眼的の縞の發生を伴ふ現象を認めた。これは時效合金に一般に起るものと共通なものである。

以上の實驗の結果よりして、本報告にはかかる降伏點現象の發生機の解釋を試みた。實驗的事實は降伏點發生機構を解釋するに、軟き地鐵と脆き境界組織とよりなる不均一なる蜂窩狀組織を考へることを要求する。然るときはかかる組織に外力が加はれば各要素はそれぞれ適當な分量だけ應力を分擔するであらうが外力が増すにつれ薄い境界組織

は切斷し、全應力は地鐵に移行し、ために地鐵は急激な變形を起してその應力に抵抗せざるを得なくなるであらう。全體としては同一荷重のために急激な變形が現はれることになり、境界組織の切斷及び地鐵の急激な變形は Lüders 線として現はれる。此の過渡現象を降伏點現象として考へる。境界組織の切斷及びその切斷個所を結ぶ線に沿て生じる地鐵の變形は顯微鏡的に認められ、裂縫と名付けた。これは、單結晶に於けると同じやうに單純な辻りや双晶のみでは多結晶體の變形は説明出來ないものである。

尙、終りに降伏點現象の發生機構を模型を以て説明し、脆粘の二つの應力要素が同時に存在すれば、模型的にも、降伏點跡場に似た應力-變形線圖を得られることを示した。

終りに臨み、深甚な御親切と御指導を日夜賜た眞島正市先生、大學在學中より鞭撻された故後藤正治先生、並びに大河内正敏先生を始め、激勵と助言とを與へられた理化學研究所各員一辻二郎君、山口珪次君、西田正孝君、作井誠太君、福井伸二君、渡邊恒君等に深甚なる謝意を表す。

### スベルカレドニー土鑛石よりニッケルクロム鋼直接製鋼作業に就て

(野村製鋼株式會社・千葉製鋼株式會社の印刷物より轉載)

**1. 土鑛石精錬の沿革** 當社の傍系會社たるスベルカレドニー鑛業會社は佛領ニーカレドニアに含ニッケル褐鐵礦埋藏量數百億噸に達する豊富なる鑛區を所有し現在1ヶ年拾數萬噸を本邦に供給せる現況に鑛み之が利用は本邦の如くニッケルに不足せる國に於ては焦眉の急なるを痛感し當社直系の野村理化學研究所に於て昭和14年以來電氣爐に依る直接製鋼法を研究し當工場に於て工業的にニッケルクロム鋼の製造を開始せり、本鑛石は外觀上粘土質土狀赤土にして Ni, Co を含有し磷分少なきを特徴とす。

平均分析下記の如し。

50.78% Fe, 0.7~1.1 Ni, 0.21 Co, 1.53 Cr, 0.20 Mn, 0.018 P, 0.31 S, 2.05 SiO<sub>2</sub>, 10.40 Al<sub>2</sub>O<sub>3</sub>, 0.20 CaO, 0.71 MgO, 12.31 Ig. Loss,

**2. 電氣爐直接製鋼作業の概要** 本鑛石は 25~30% Moist. を含有する故電氣爐裝入前に乾燥爐を以て約 600°C の溫度に於て灼熱し内部結晶水並に灼熱減量の大部分を除去す。

還元剤としては無煙炭、コーキス、コーライトを使用す。

上鑛石、還元剤、石灰、マンガン鑛石を充分混合して全量の半量を爐内に裝入して通電すれば除々に熔解すると共に爐内は還元反應を促進し盛にガスを發生し半ば熔解すれば殘量を逐次裝入して還元反應を進行せしむ。

作業狀態下記の如し。

裝入鑛石量 5t 出銅量 2.3t 歩留 93%  
出銅爐當り電力量 3,000~2,500 kw·h 出銅爐當り電極消費量 25 kg  
所要時間 5h 20mn 熔津指數 0.25~0.35

**3. 製品の試験成績** ニッケルクロム鋼塊製造に就ては土鑛石より直接に製鋼する方法と鑛石より一回粗鐵を作り其後之を再熔解電氣爐作業にて銅塊を製造する方法とあり平均分析下記の如し。

	C	Si	Mn	P	S	Ni	Cr	Co
ニッケル粗鐵	A 0.80	0.18	0.33	0.005	0.020	2.09	0.71	0.36
クロム粗鐵	B 0.87	0.27	0.10	0.024	0.031	1.27	0.88	0.35
ニッケル製品	A 0.84	0.21	0.42	0.015	0.014	1.37	0.62	0.35
クロム鋼製品	B 0.412	0.31	0.398	0.005	0.024	3.04	0.312	0.411

規格外のコバルトを含有すれども機械的性質には好影響を與へるものと認められる。

機械的性質は下記の如く日本標準規格を優に凌駕する好成績を示す。

番號	直 徑 mm	標 距 mm	降伏點 kg/mm <sup>2</sup>	抗張力 kg/mm <sup>2</sup>	伸 縫 %	シヤル ピー kNm/cm <sup>2</sup>	硬 度 B.H.N.	
B 1	13.97	50.0	88.0	94.8	24.0	63	12.4	269
B 2	13.96	50.0	87.0	94.1	24.0	63	12.3	—

**4. 結論** 本ニッケルクロム鋼の直接製鋼法は尙技術的並に經濟的に研究中なれども現下の状勢に於て此の利用は最も急を要する處と認め作業を續行中なり。本土鑛石の利用にてはニッケルクロム鋼第1種を主とし第2種迄を生産すれども Ni の濃度を高くるため轉爐吹製等の方法によりニッケルクロム第4種をも生産する事可能なりと思はれる。

本法により製造されたるニッケルクロム鋼の機械的性質は他の方法により製造されたる同種鋼に比較して斷然優秀なる成績を示す事は前表に示された通りにして

a) 處女性による優秀性 b) Co 含有による優秀性 c) 原料鑛石自體が既に Ni と Fe の融合體なる爲に普通の Ni 添加による特殊鋼に比べ各原素の融合狀態極めて自然的なる事も優秀性を増す事の一因と考へられる。

等の理由と思はれる。